# 酸化マグネシウム系磁気トンネル接合の 基礎と応用

## 湯浅 新治





## スピントロニクス とは

## 電気の性質

## 磁石の性質(スピン)

#### 半導体

- ・ロジックLSI
- -DRAMなど

#### 揮発性

(電気を切ると記憶が消失する性質)



電子

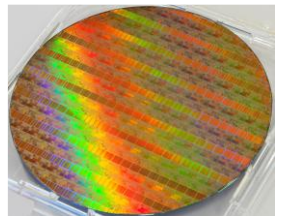
S

#### 磁気工学

- •磁気記録
- •永久磁石

#### 不揮発性

(電気を切っても記憶が消えない性質)





省電力・高速・高信頼性の 不揮発性メモリ MRAM スピントロニクス

電気と磁気の両方を活用する 新しい半導体分野



データセンターの主流ストレージ 大容量ハードディスク

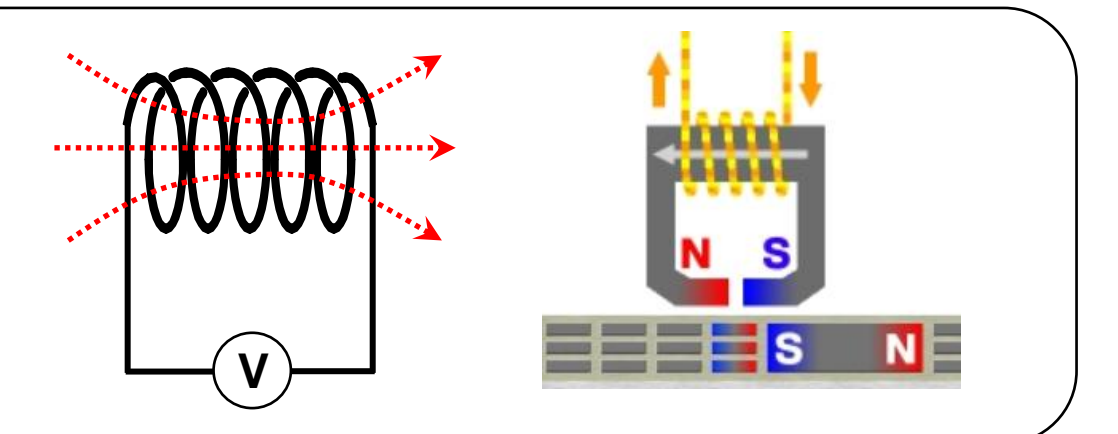
#### 本日の内容

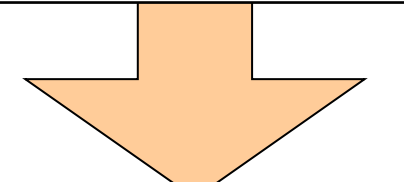
- 1. はじめに
  - ▶ 磁気抵抗効果とスピントロニクス
  - ➤ 磁気トンネル接合(MTJ)のトンネル磁気抵抗効果(TMR効果)
  - ▶ アモルファルAI-Oトンネル障壁のTMR効果、その応用と限界
- 2. 結晶MgOトンネル障壁の巨大TMR効果
  - ➤ エピタキシャルMgO(001)トンネル障壁
  - ➤ CoFeB/MgO/CoFeB構造のMTJ
- 3. ハードディスク(HDD)
- 4. 不揮発性メモリ STT-MRAM
  - ➤ スピン転移トルク(STT)
  - ➤ 垂直磁化STT-MRAM
- 5. まとめ、今後の課題

## 磁気工学

アンペールの法則やファラデーの電磁誘導の法則を用いて、電気と磁気を結合

エネルギー効率や感度が低い



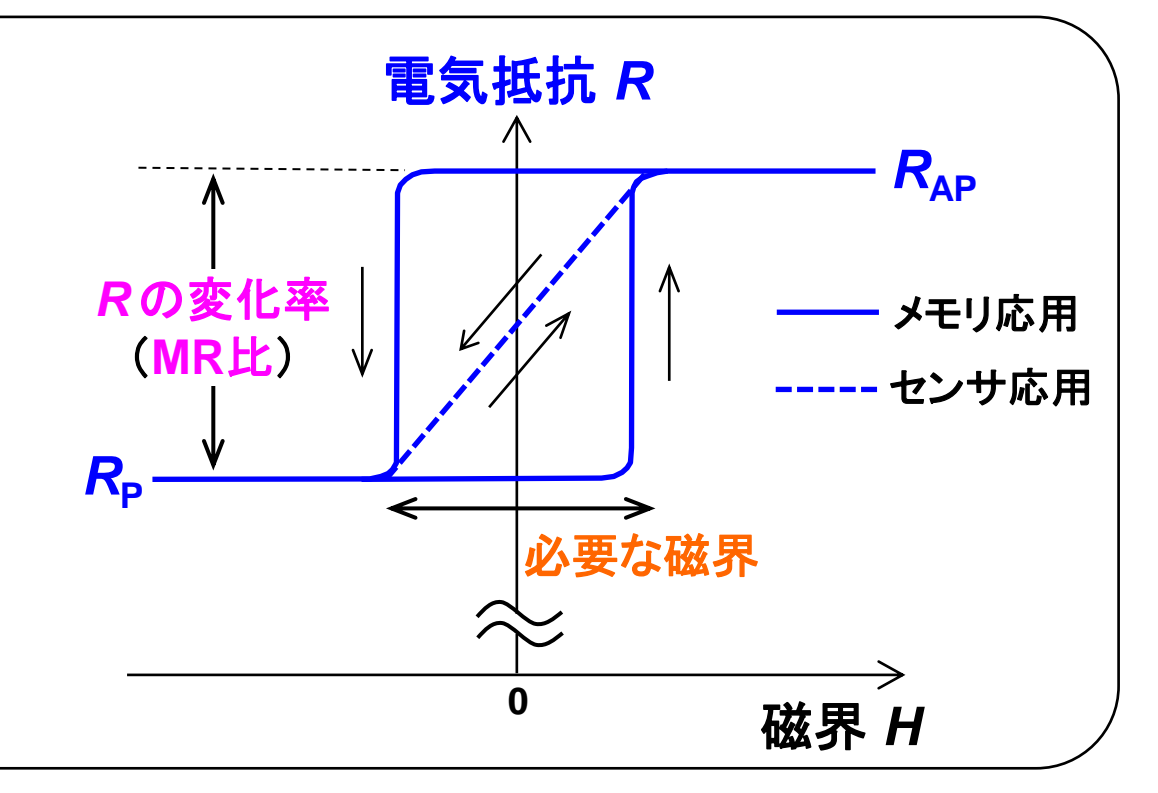


## スピントロニクスの始まり

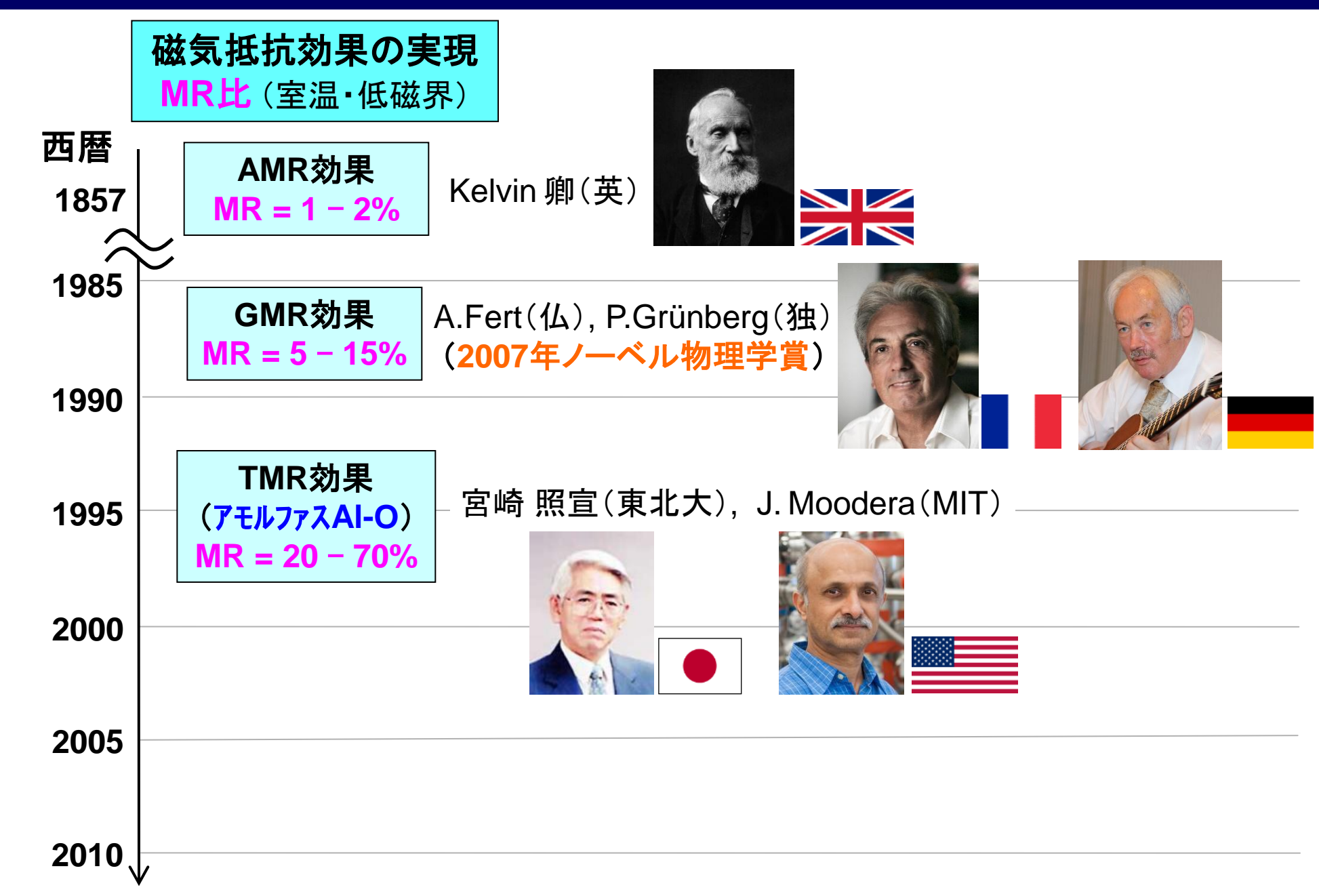
磁気抵抗効果 (Magneto-Resistance: MR) を用いて、磁界信号を電気信号に変換

量子力学的な効果であるため、エネルギー効率や感度が高い

産業応用のためには、室温かつ低磁界において大きなMR比が必要



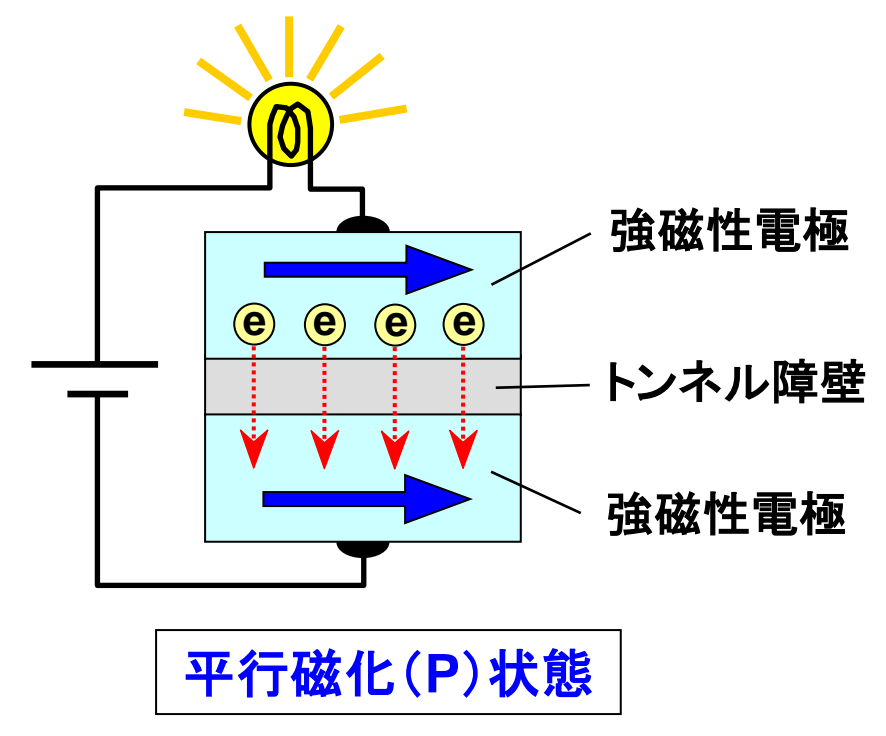
## 磁気抵抗効果の歴史



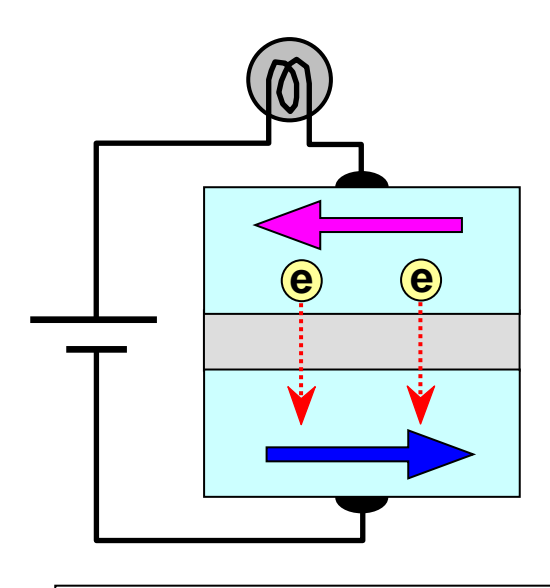
## 磁気トンネル接合(MTJ)のトンネル磁気抵抗(TMR)効果

**MTJ: Magnetic Tunnel Junction** 

**TMR:** Tunnel Magneto-Resistance



トンネル抵抗 R<sub>p</sub>: 低い

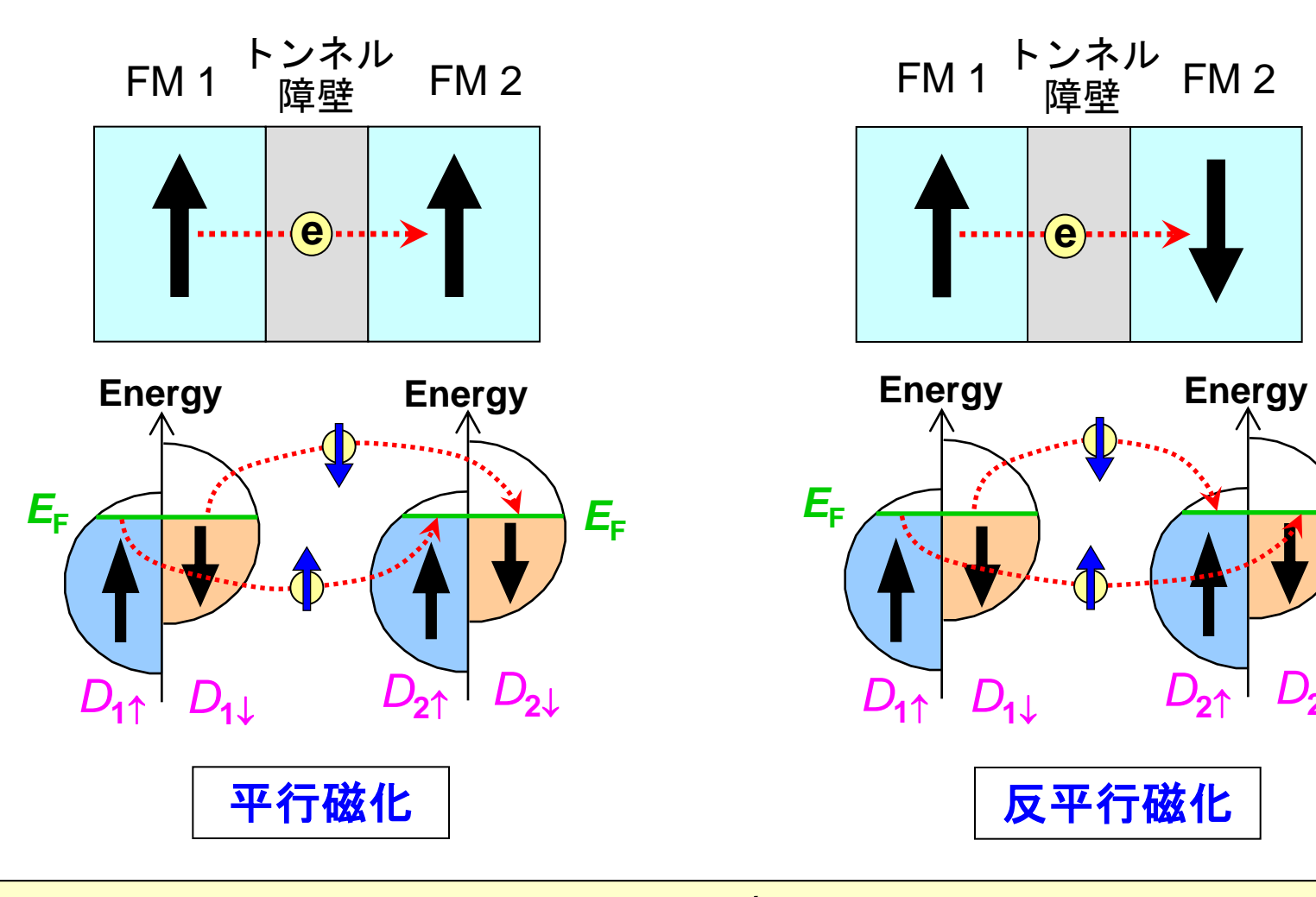


反平行磁化(AP)状態

トンネル抵抗 R<sub>AP</sub>: 高い

 $MR比 \equiv (R_{AP} - R_P)/R_P \times 100\%$ (性能指数)

## TMR効果の現象論的モデル(Julliereモデル)



$$MR = 2P_1P_2/(1 - P_1P_2), \qquad P_{\alpha} = \frac{\left(D_{\alpha\uparrow}(E_F) - D_{\alpha\downarrow}(E_F)\right)}{\left(D_{\alpha\uparrow}(E_F) + D_{\alpha\downarrow}(E_F)\right)}, \quad \alpha = 1, 2.$$

スピン分極率 *P* 

## TMR効果の先駆的な研究

#### Fe/Ge-O/Co接合

PHYSICS LETTERS

Volume 54A, number 3

8 September 1975

#### TUNNELING BETWEEN FERROMAGNETIC FILMS

#### M. JULLIERE

Institut National des Sciences Appliquées, 35031 Rennes Cedex, France

Received 25 June 1975

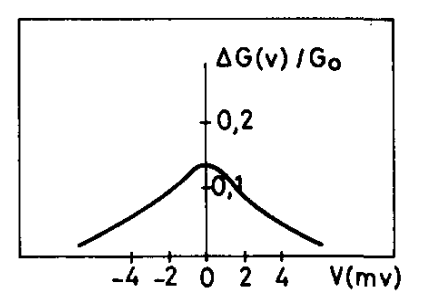


Fig. 2. Relative conductance  $(\Delta G/G)_{V=0}$  of Fe-Ge-Co junctions at 4.2 K.  $\Delta G$  is the difference between the two conductance values corresponding to parallel and antiparallel magnetizations of the two ferromagnetic films.

#### Ni/Ni-O/Co接合

IEEE TRANSACTIONS ON MAGNETICS, VOL. MAG-18, NO. 2, MARCH 1982

#### 707

#### Electron Tunneling Between Ferromagnetic Films

S. MAEKAWA AND U. GAFVERT

Manuscript received June 1, 1980.

- S. Maekawa is with the IBM Thomas J. Watson Research Center, Yorktown Heights, NY 10598, on leave from The Research Institute for Iron, Steel and Other Metals, Tohoku University, Sendai 980, Japan.
- U. Gäfvert is with the IBM Thomas J. Watson Research Center, Yorktown Heights, NY 10598.

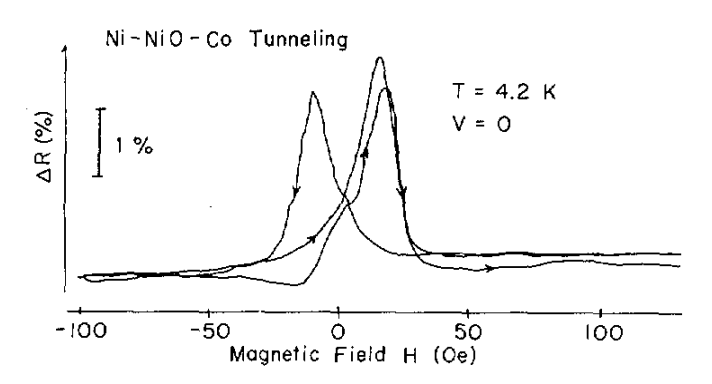
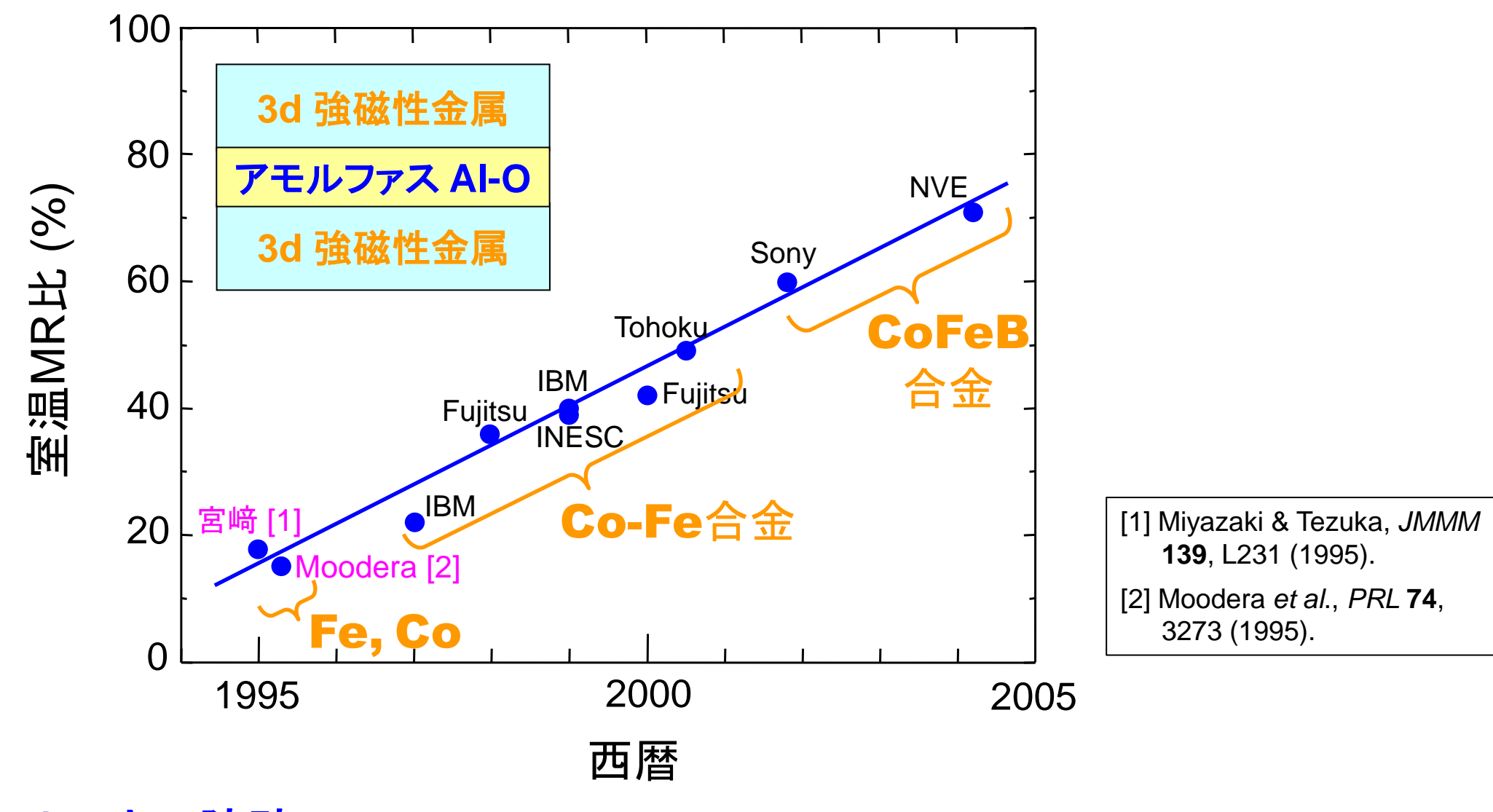


Fig. 1. Magnetic field H dependence of the resistance R at V=0 and at 4.2 K normalized by that at H=0 in a Ni-NiO-Co junction.

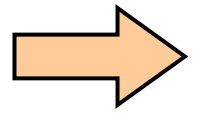
低温で小さなTMR効果が観測されたが、室温では観測されなかったため、 その後あまり注目されず。

## 室温TMR効果の実現と発展



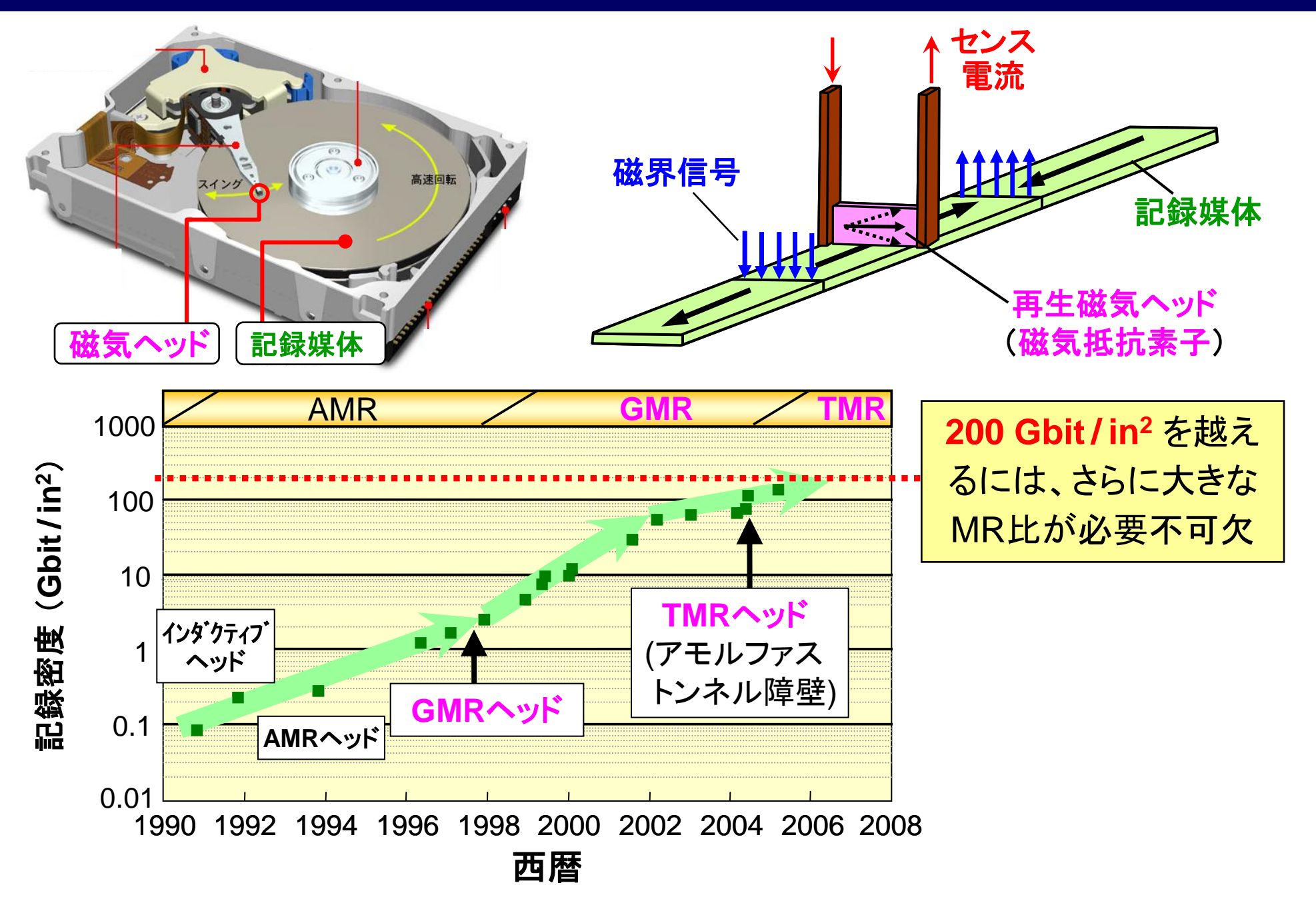
AI-Oトンネル障壁 の作製技術

AIの自然酸化



AIのプラズマ酸化

## ハードディスク(HDD)の再生磁気ヘッドへの応用



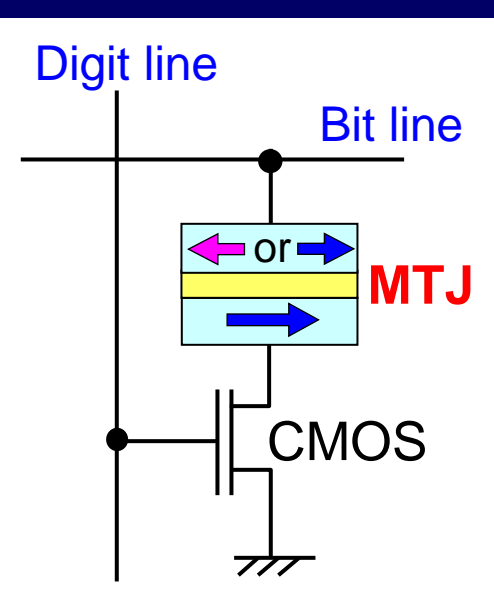
## 第一世代の不揮発性メモリ: トグルMRAM

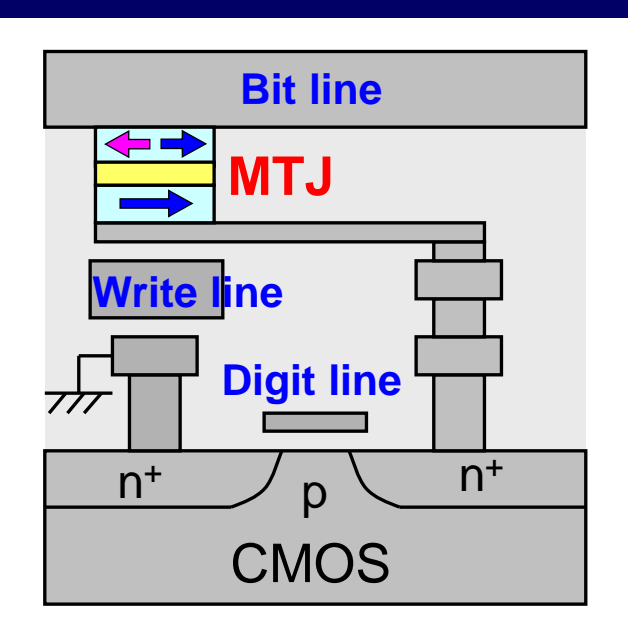
平行磁化:"**0**"

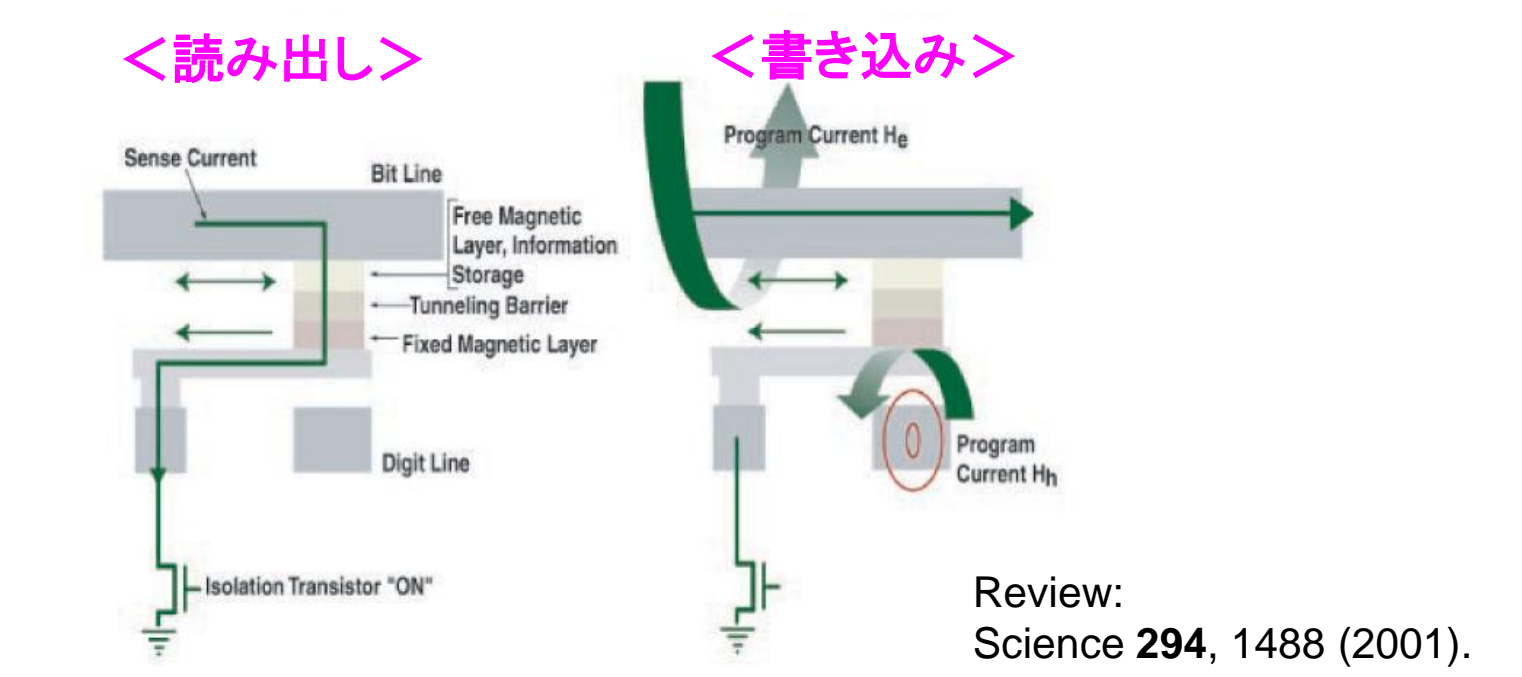
反平行磁化:"1"

磁気記録のため、

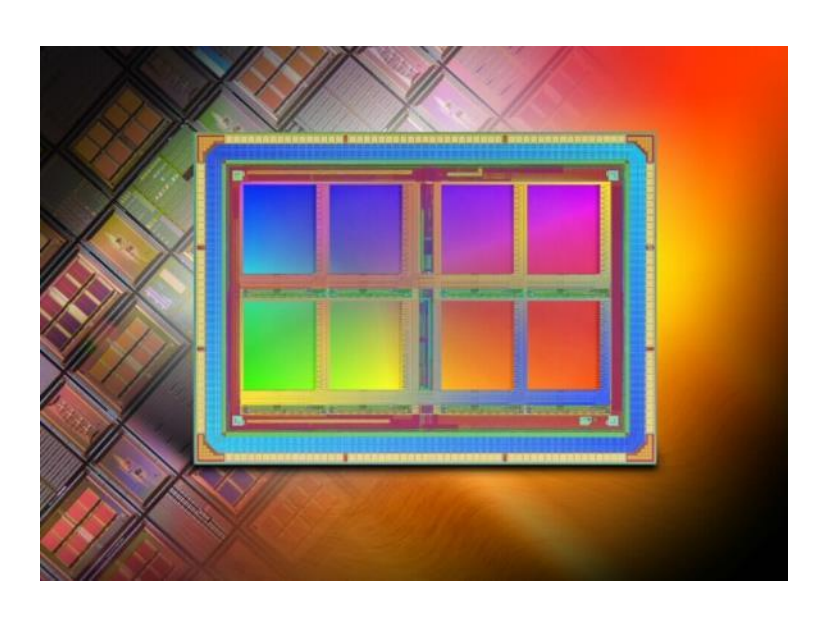
不揮発かつ高信頼







## 2006年に製品化された Mbit級のトグルMRAM



米国フリースケール社(現 Everspin社)の MRAM(1 Mb – 16 Mb)

#### く理想的な特性>

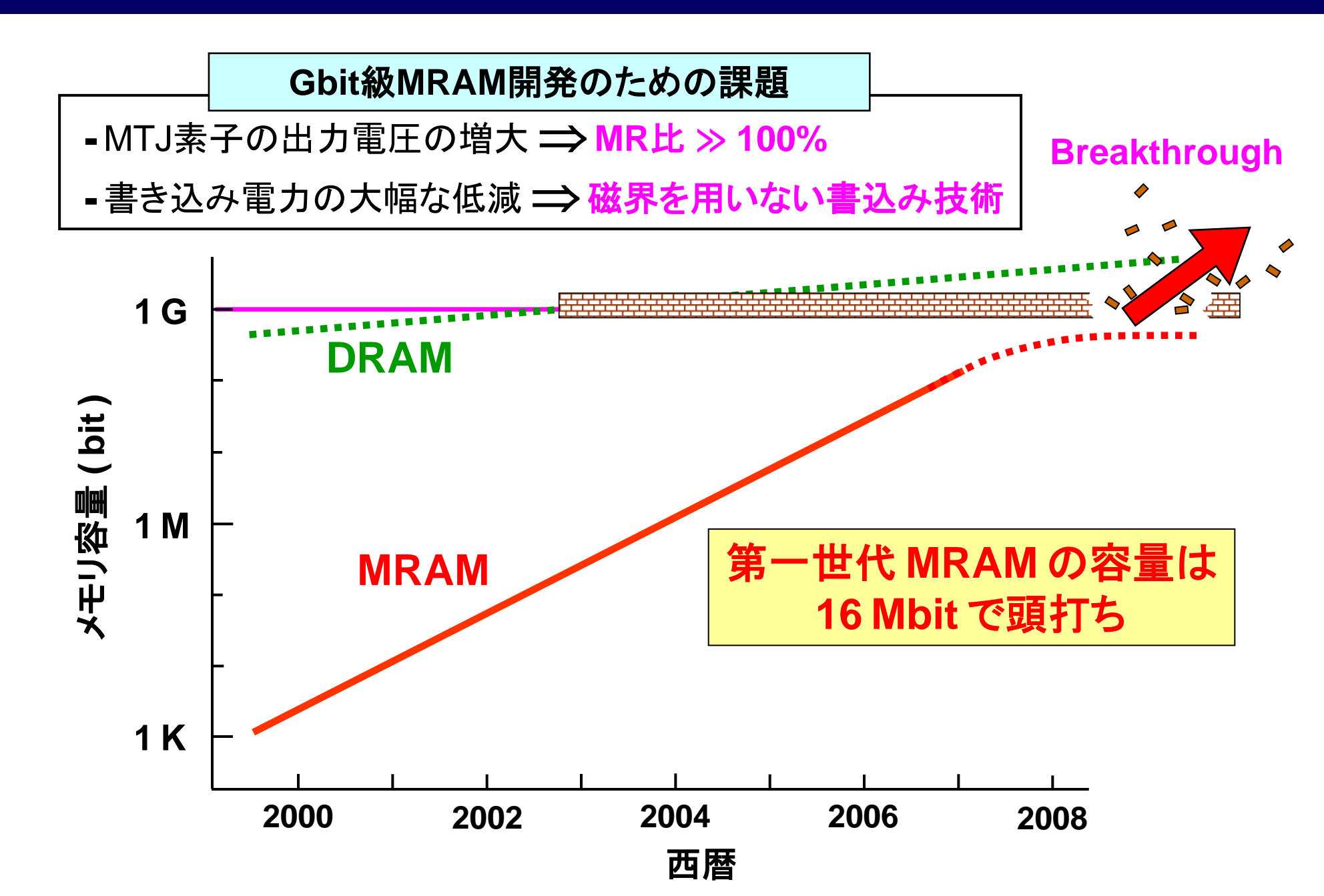
不揮発性、高速動作、書き換え回数無制限

高温動作,放射線耐性, etc.

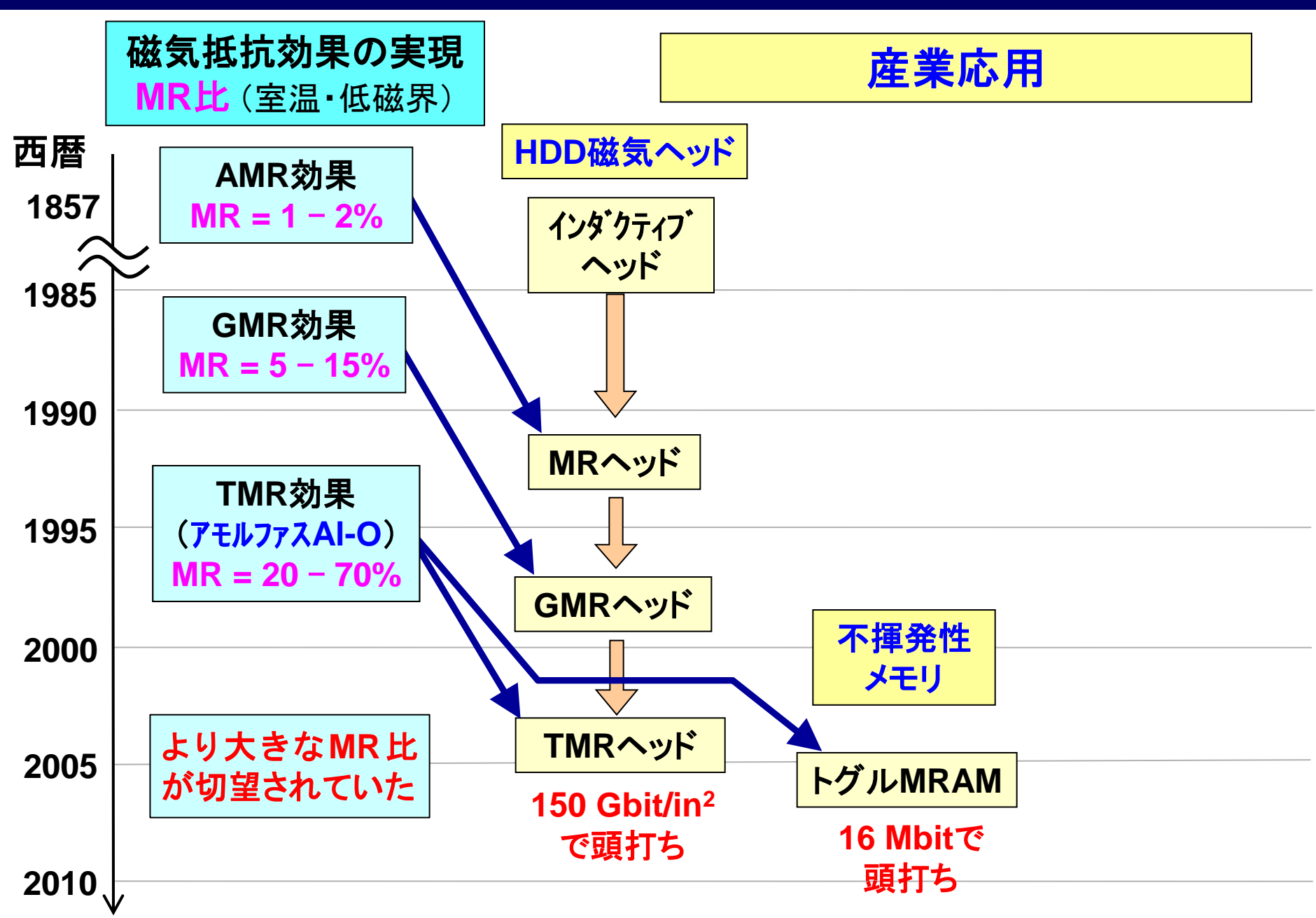
<課題>

高集積化 が 困難

## Gbit級の高集積 MRAM を実現するには?



## 磁気抵抗効果の歴史

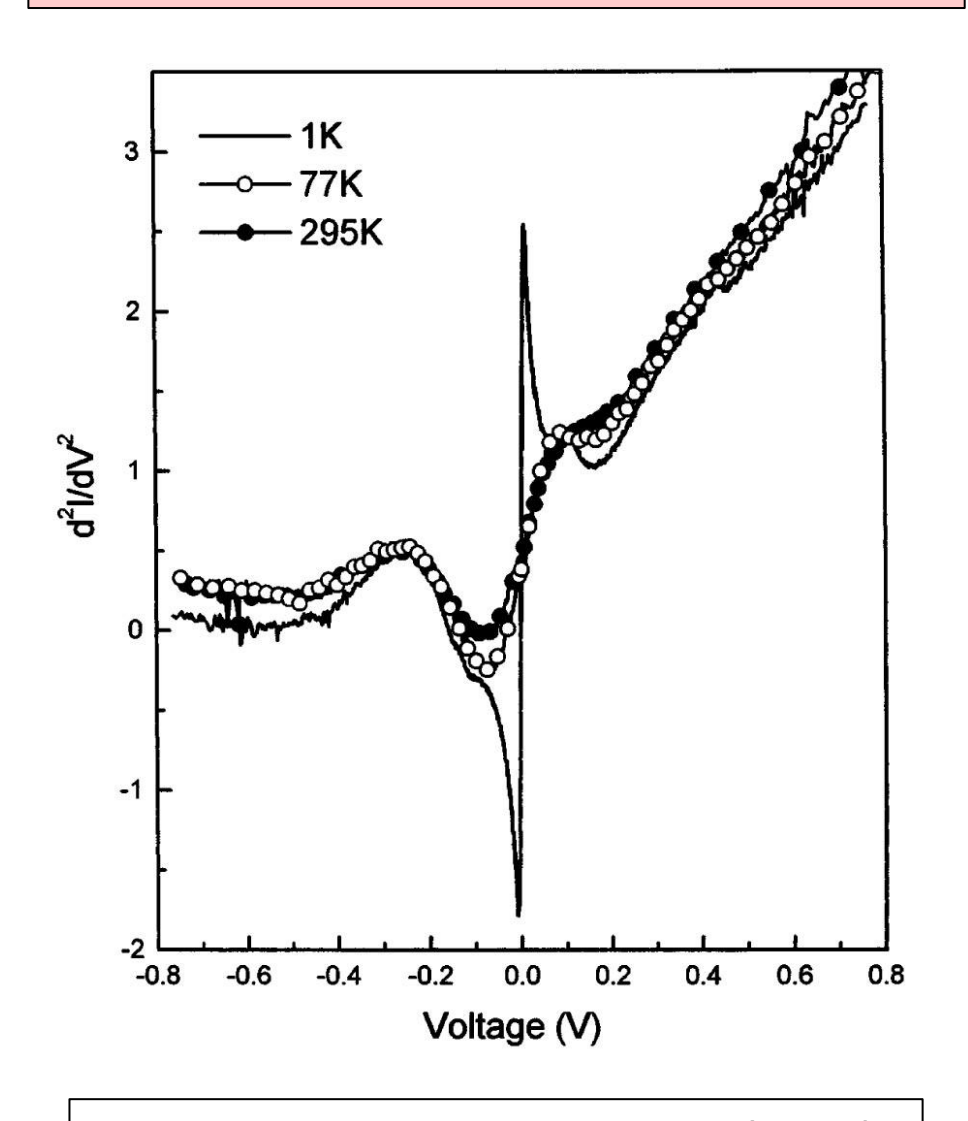


## TMR効果の物理がさっぱり分からない!

### Juliereモデルの問題点

## 常にP>0 Julliereモデル 超伝導体 スピン分極率P の実測値 符号すら 8 合わない MR比の実験値 $(\Xi)$ 強磁性電極の $E_{\mathsf{F}}$ バンド構造 Co, Niでは P < 0

#### トンネル分光にDOSの特徴が現れない



Moodera et al., PRL 80, 2941 (1998).

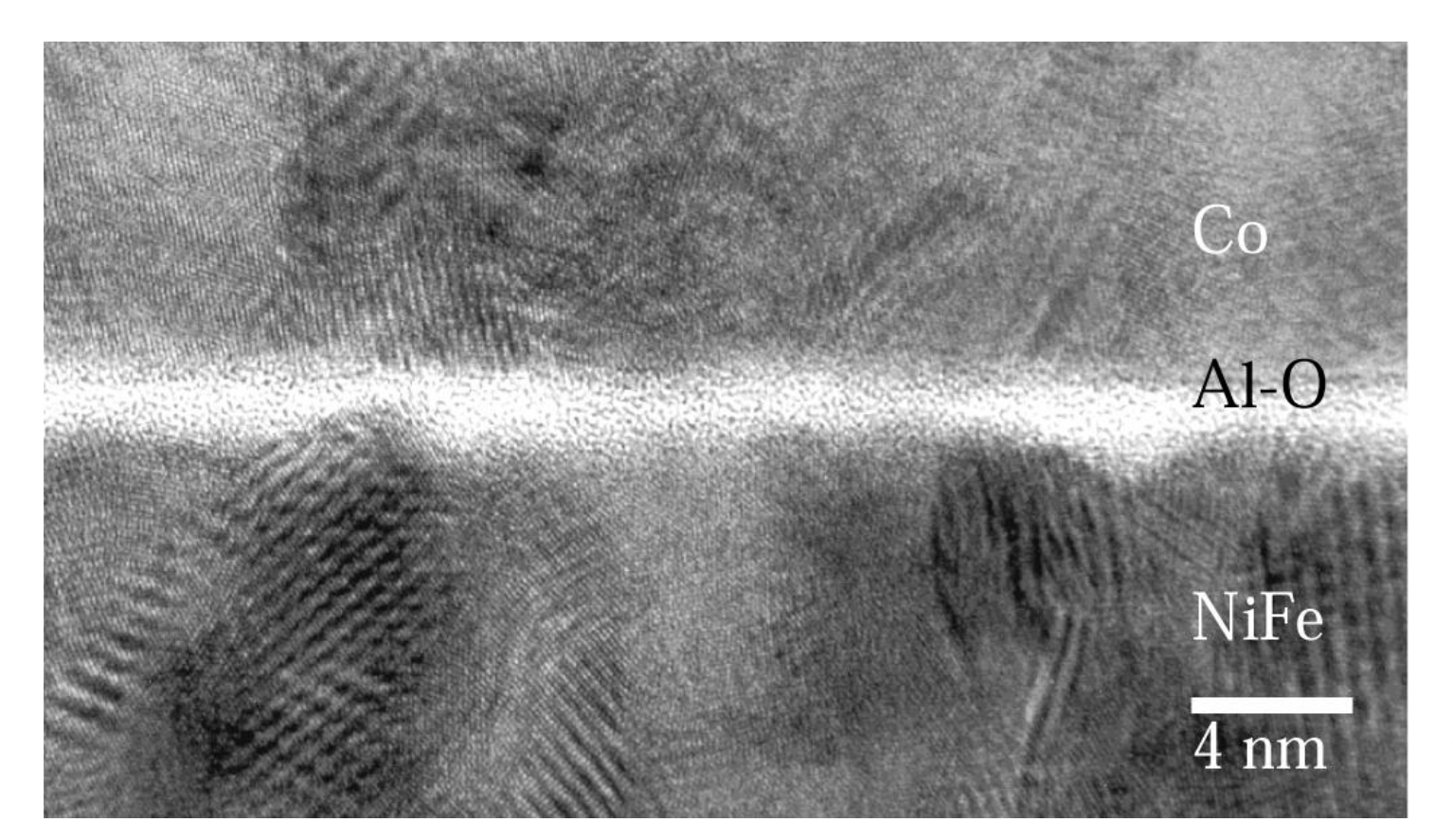
## AI-O障壁MTJの問題点(基礎研究面)

▶トンネル障壁: アモルファスAI-O

▶上下の電極層: 低配向の多結晶

詳細な物理の研究は困難

▶界面: ~nmスケールの凹凸あり



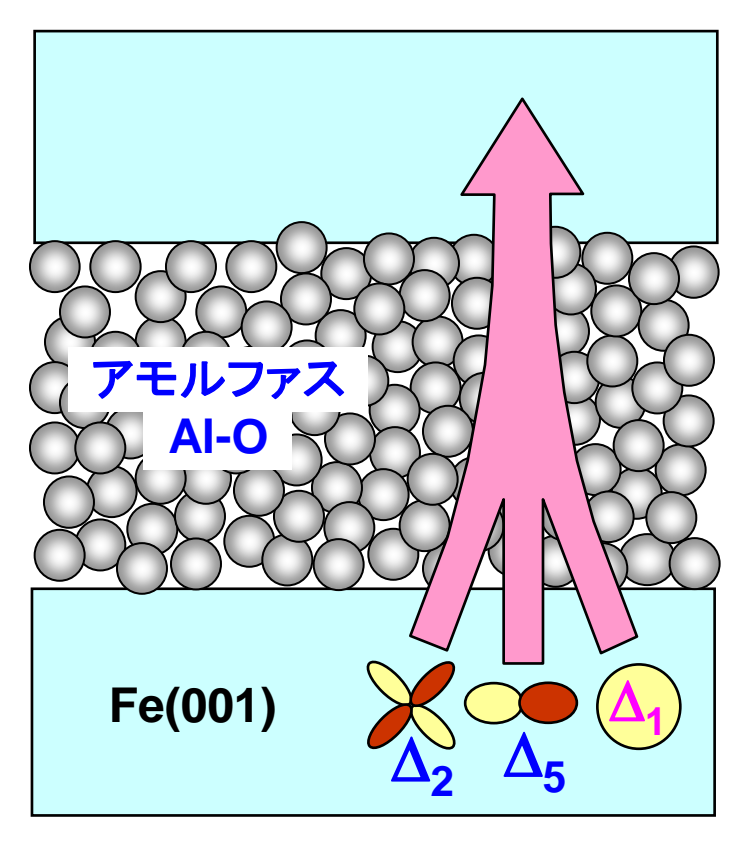
A.C.C.Yu *et al.*, JJAP **40**, 5058 (2001).

#### 本日の内容

- 1. はじめに
  - ▶ 磁気抵抗効果とスピントロニクス
  - ➤ 磁気トンネル接合(MTJ)のトンネル磁気抵抗効果(TMR効果)
  - ▶ アモルファルAI-Oトンネル障壁のTMR効果、その応用と限界
- 2. 結晶MgOトンネル障壁の巨大TMR効果
  - ➤ エピタキシャルMgO(001)トンネル障壁
  - ➤ CoFeB/MgO/CoFeB構造のMTJ
- 3. ハードディスク(HDD)
- 4. 不揮発性メモリ STT-MRAM
  - ➤ スピン転移トルク(STT)
  - ➤ 垂直磁化STT-MRAM
- 5. まとめ、今後の課題

## アモルファス AI-O と 結晶 MgO(001)

#### アモルファス AI-O トンネル障壁

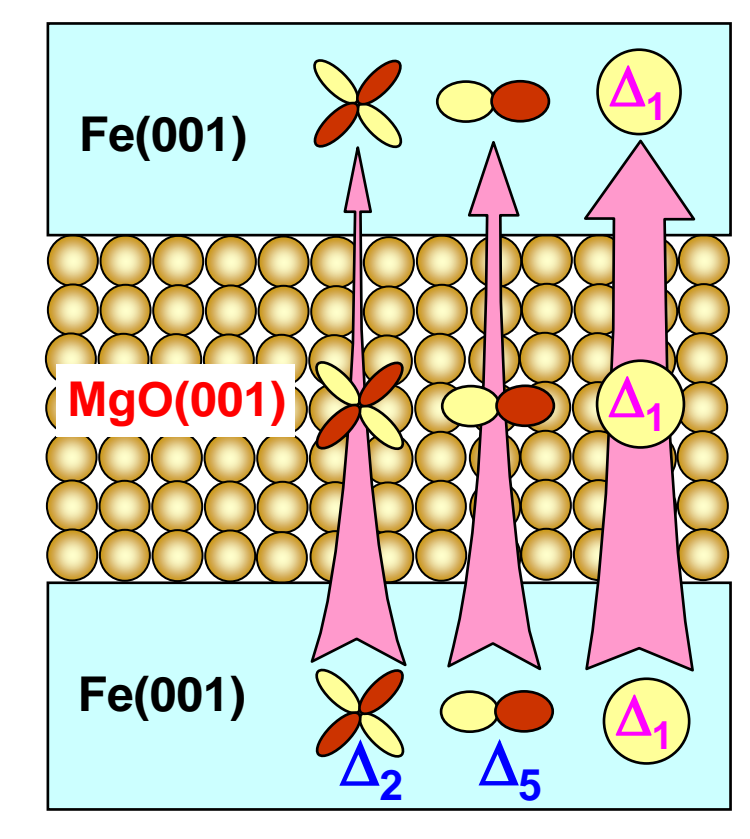


電極中の種々のブロッホ状態が 混ざり合ってトンネルしてしまう



MR比が100%を越えられない

## 結晶 MgO(001)トンネル障壁



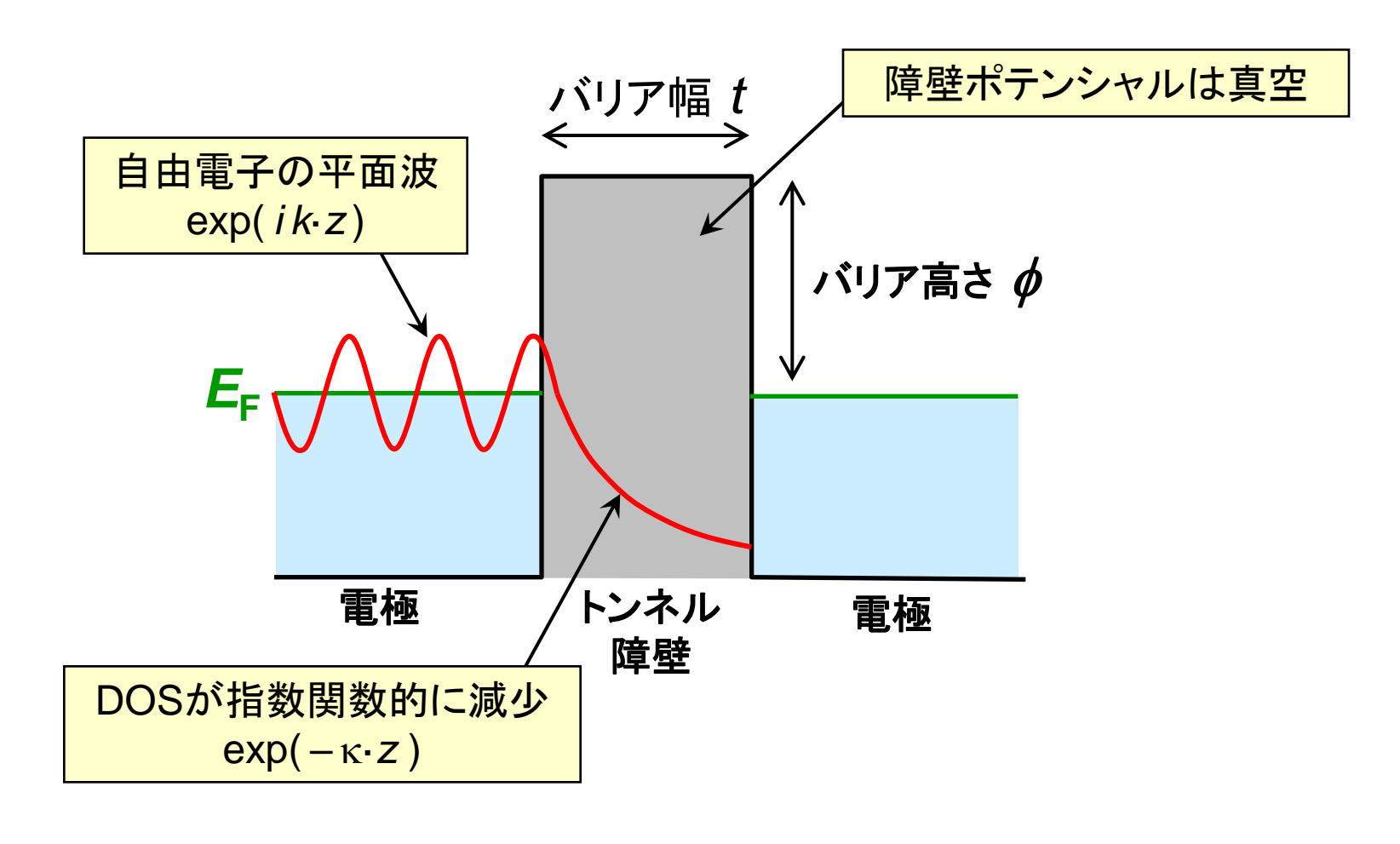
Δ<sub>1</sub> 状態が支配的にトンネル伝導に寄与する



MR比≫1000%(第一原理計算)

Bulter et al. 2001; Mathon et al. 2001.

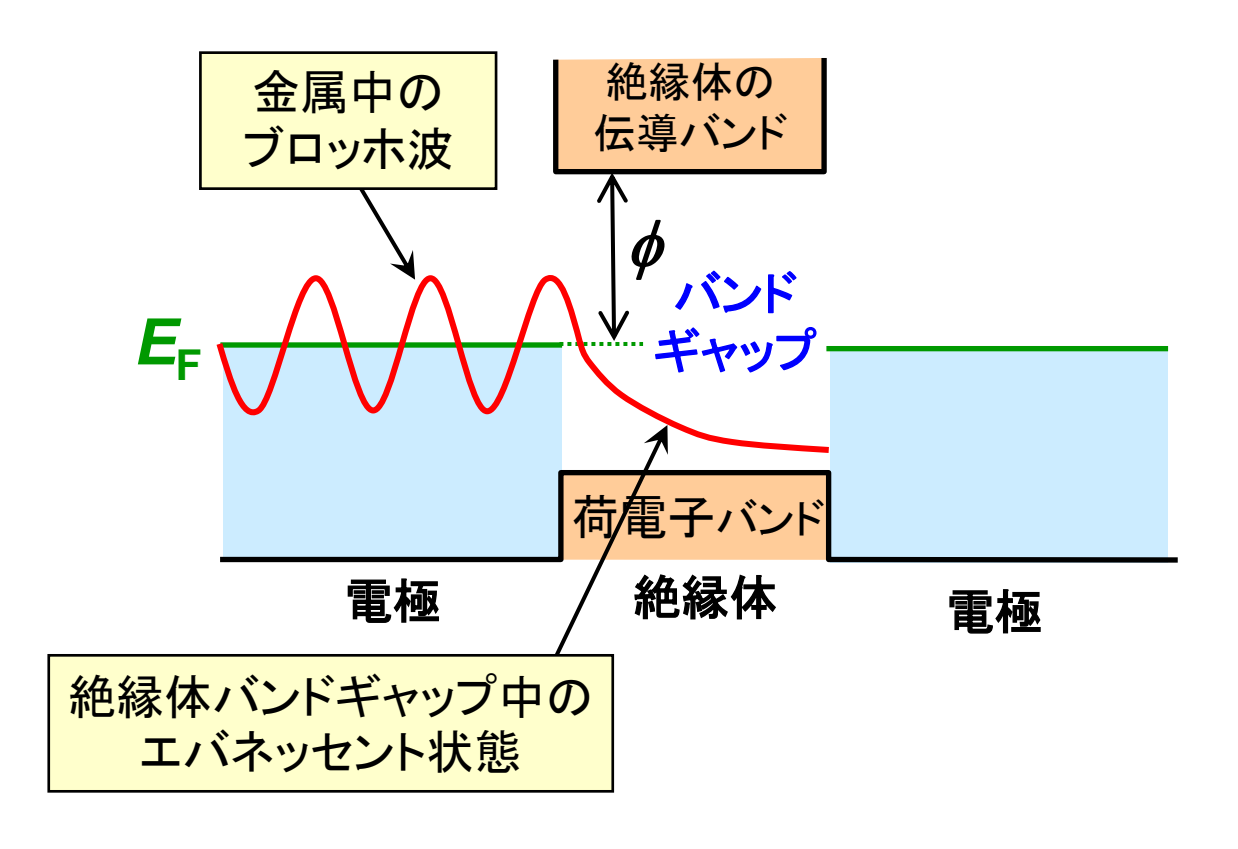
## 量子力学の授業で習うトンネル効果 の描像



#### トンネル障壁幅 tを厚くすると、トンネル透過率 T は指数関数的に減少する

$$T \propto \exp(-\sqrt{8m\phi/\hbar^2} \times_t)$$
 m: 電子の有効質量

## 現実の絶縁体トンネル障壁のトンネル現象



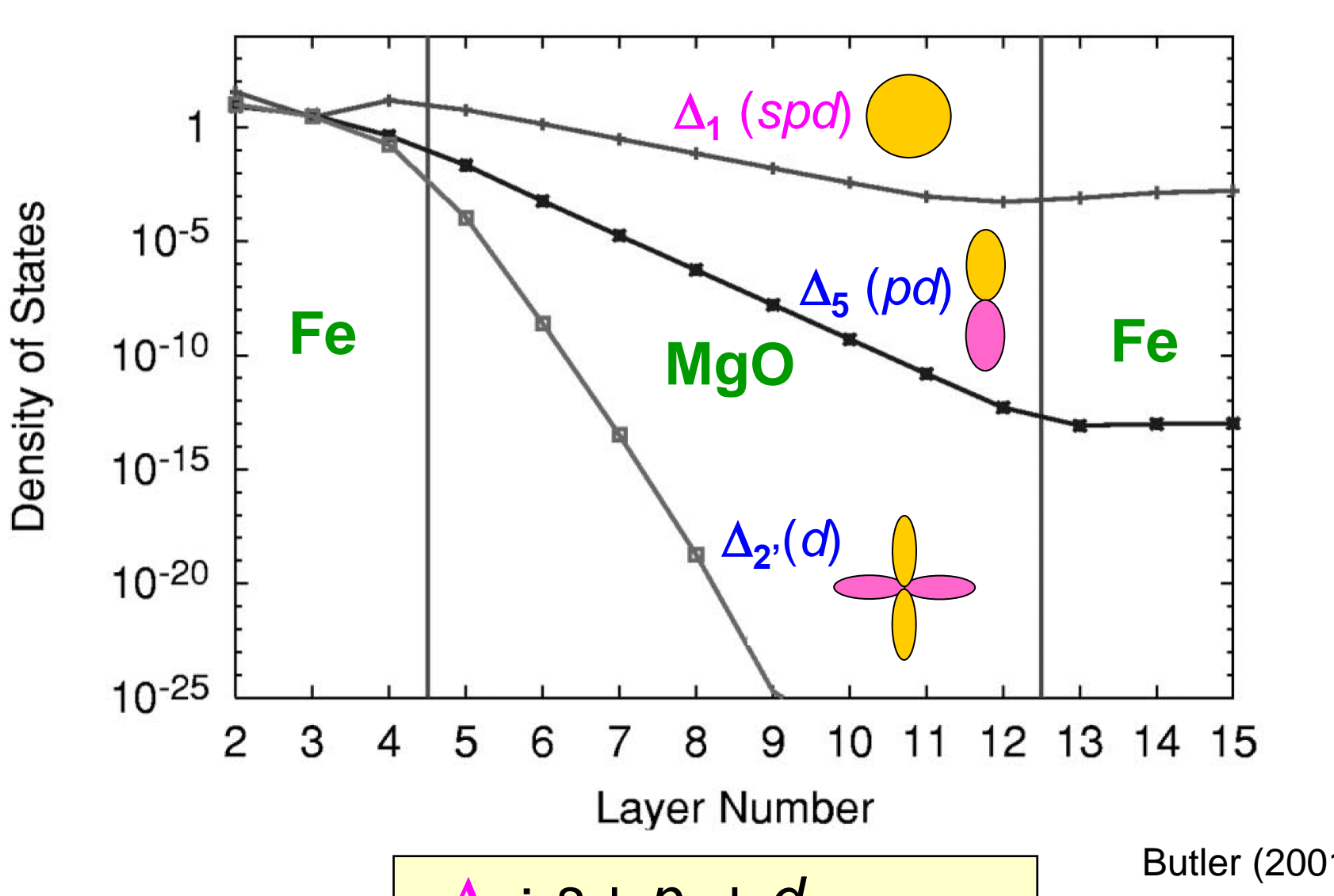
ブロッホ状態や エヴァネッセント状態は、

(i) 特有の波動関数の軌道対称性 と (ii) 特有のバンド分散 を持っている

ブロッホ状態とエバネッセント状態が、界面でどのように接続するか?

## MgO中のエヴァネッセント状態のDOSの減衰



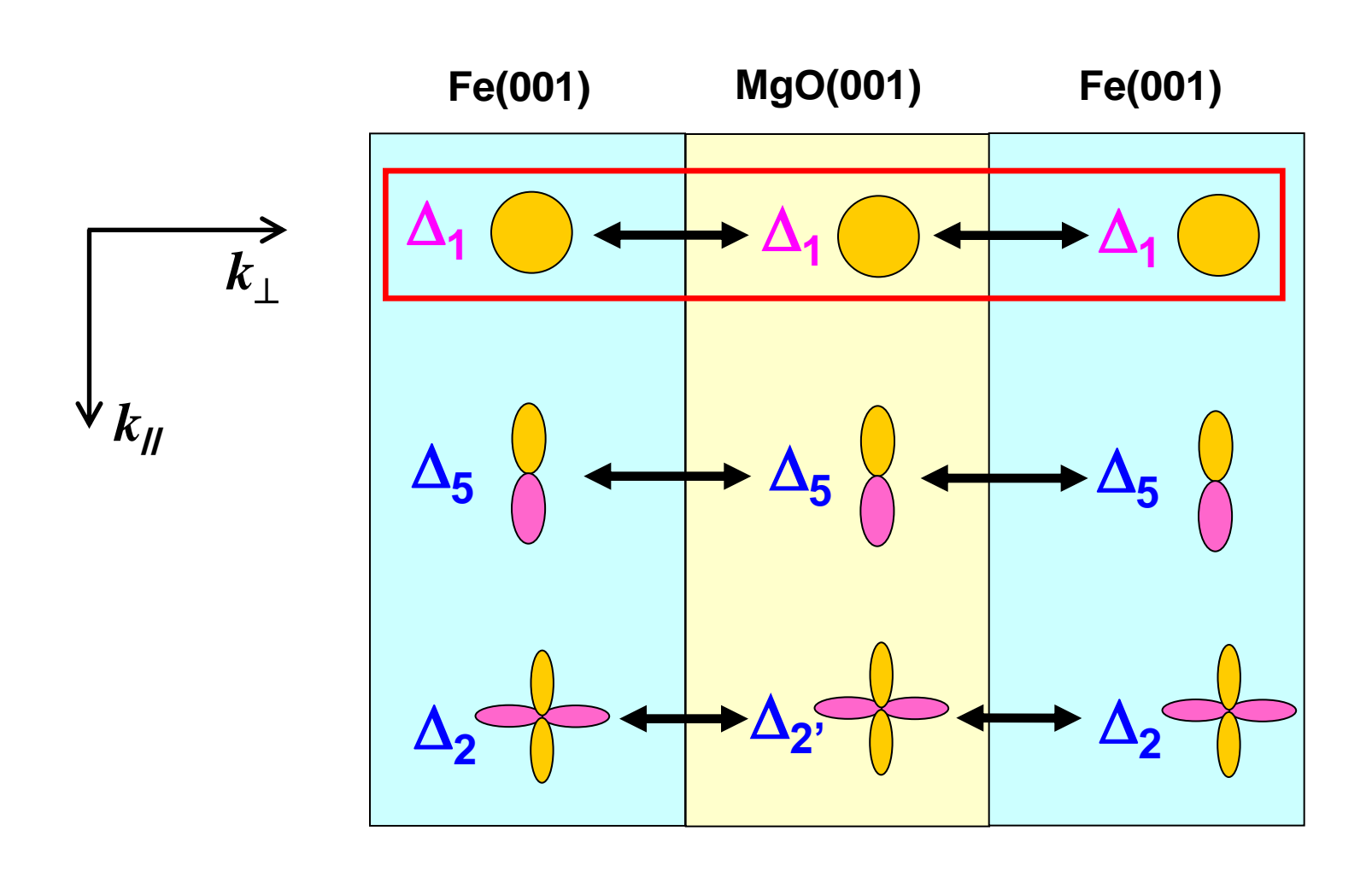


 $\Delta_1$ :  $S + \rho_z + d_{z^2 - x^2 - v^2}$ 

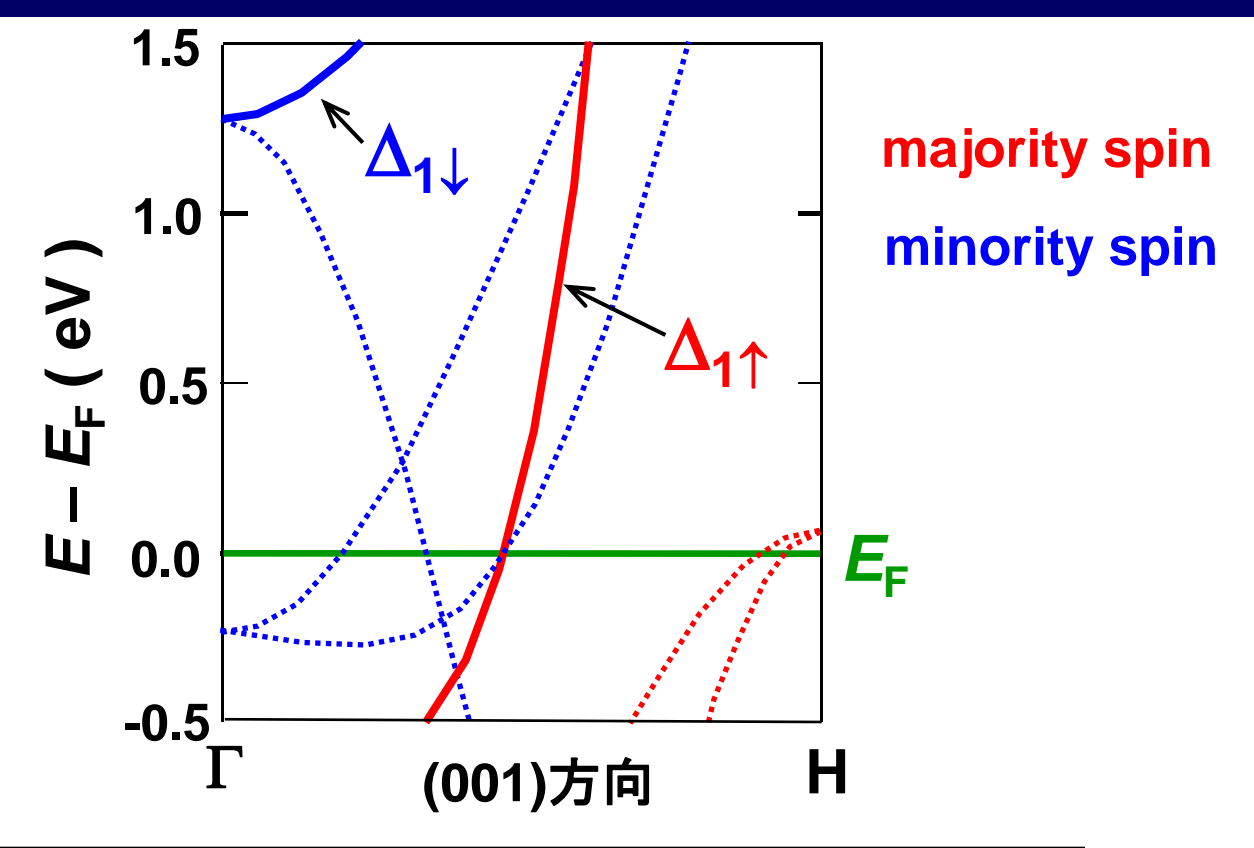
Butler (2001).

## ブロッホ状態 と エヴァネッセント状態 の 波動関数の接続

波動関数の対称性が保存される理想的な(コヒーレントな)トンネルの場合



## $E_F$ 上で完全にスピン分極したbcc Fe(001) の $\Delta_1$ バンド $(k_{//}=0$ 方向)



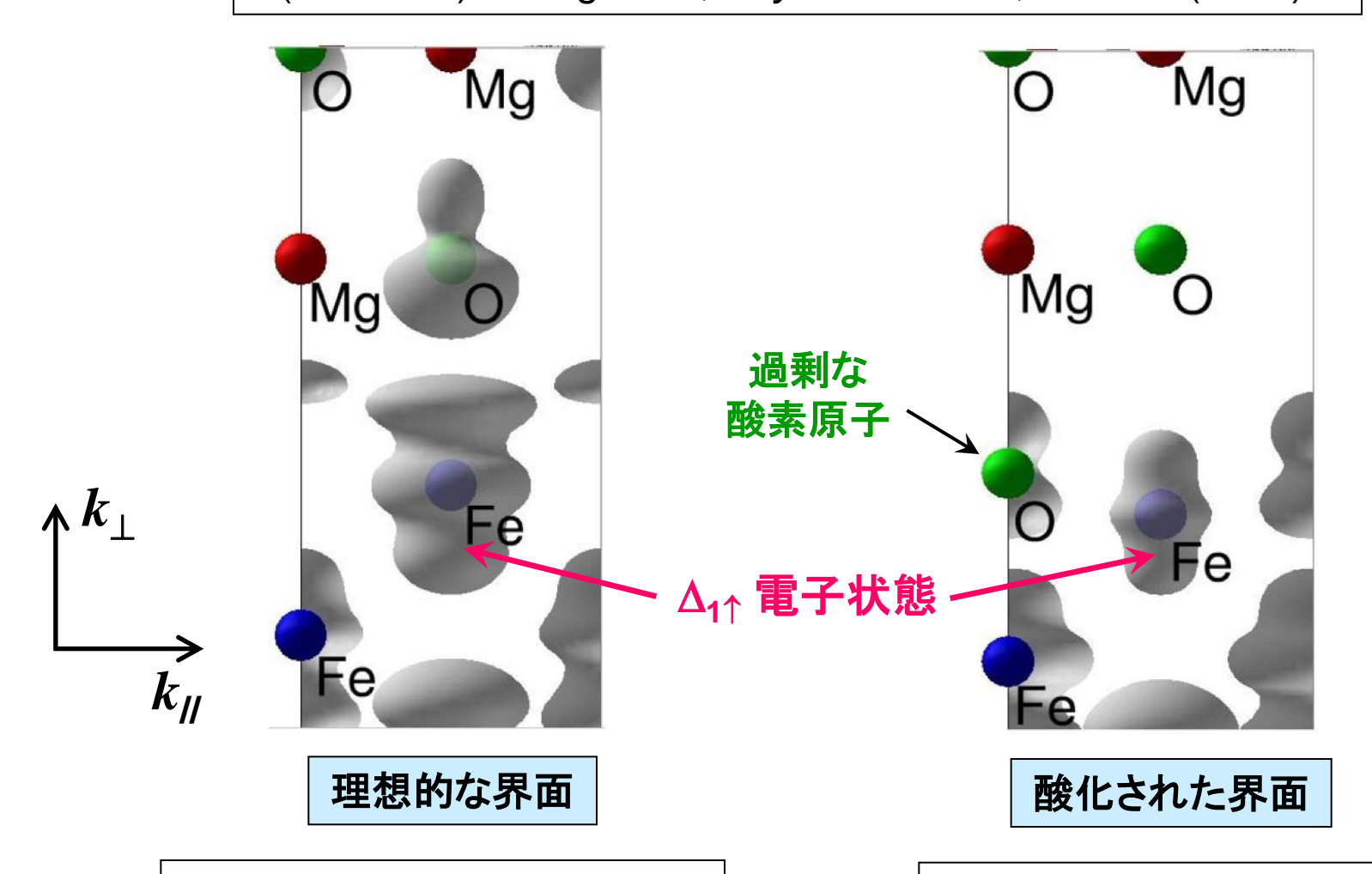
E<sub>-</sub>上で完全スピン分極した Δ<sub>1</sub> バンド (|P|=1)

⇒ 巨大なMR比が理論的に期待される

bcc Feだけでなく、FeやCoをベースにしたbcc構造の合金は完全スピン分極した  $\Delta_1$ バンドを持つ。 (例: bcc Fe-Co, 幾つかのホイスラー合金)

## 界面構造と波動関数の接続

(理論計算) Zhang et al., Phys. Rev. B 68, 092402 (2003).



Fe-  $\Delta_{1\uparrow}$  状態は  $k_{||}=0$ 方向で MgO- $\Delta_{1}$  に接続

MR 比 >> 1000%

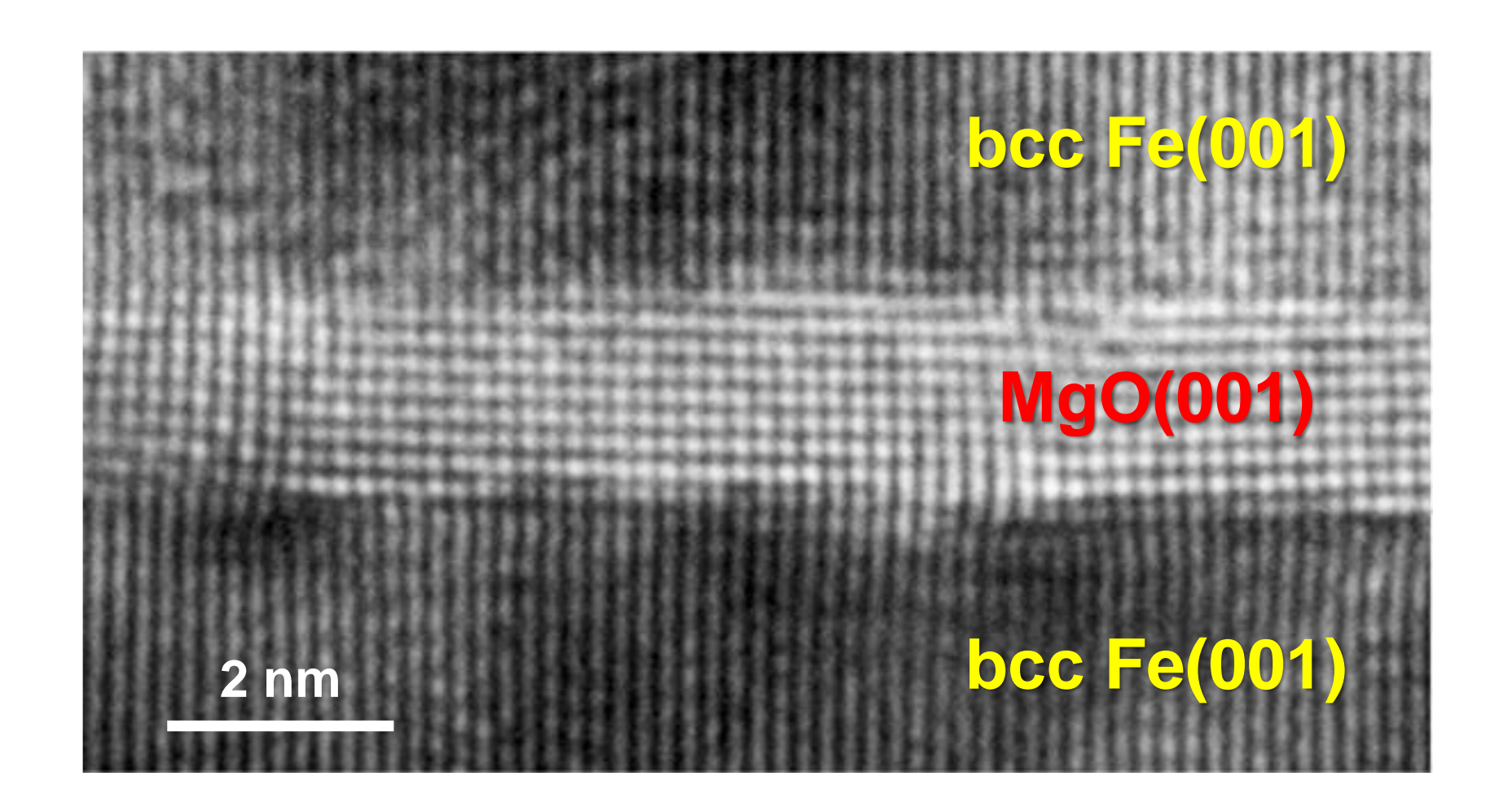
Fe-  $\Delta_{1\uparrow}$  は  $k_{||}=0$ 方向で MgO- $\Delta_{1}$  に接続できない

MR 比 < 100%

## 全エピタキシャル Fe/MgO/Fe(001) – MTJ を作製

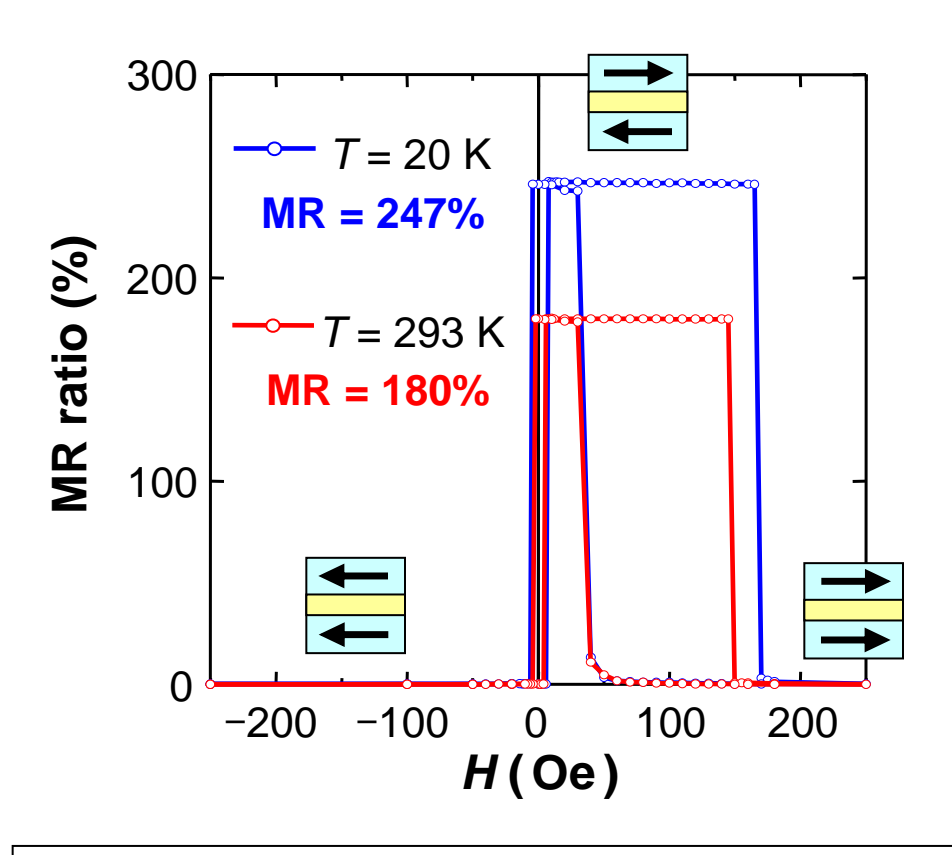
#### 産総研・JSTさきがけ

- S. Yuasa et al., Jpn. J. Appl. Phys. 43, L558 (2004).
  - S. Yuasa et al., Nature Materials 3, 868 (2004).



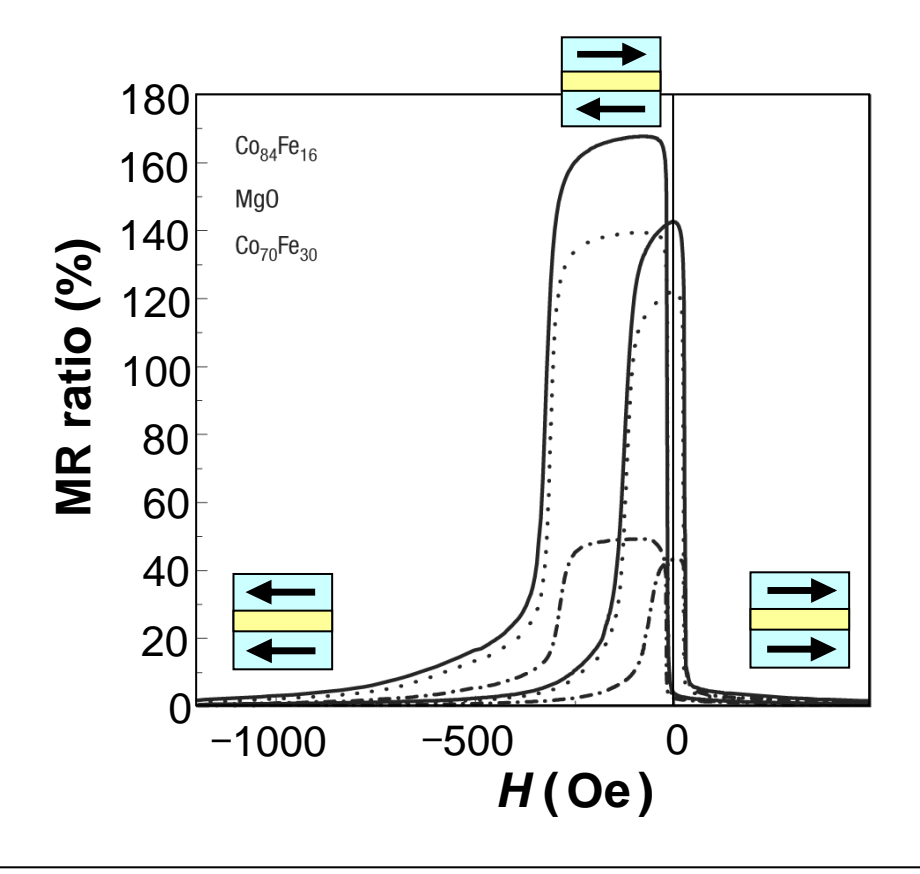
## 室温で巨大なMR比を実現

#### 単結晶 MgO(001) 障壁

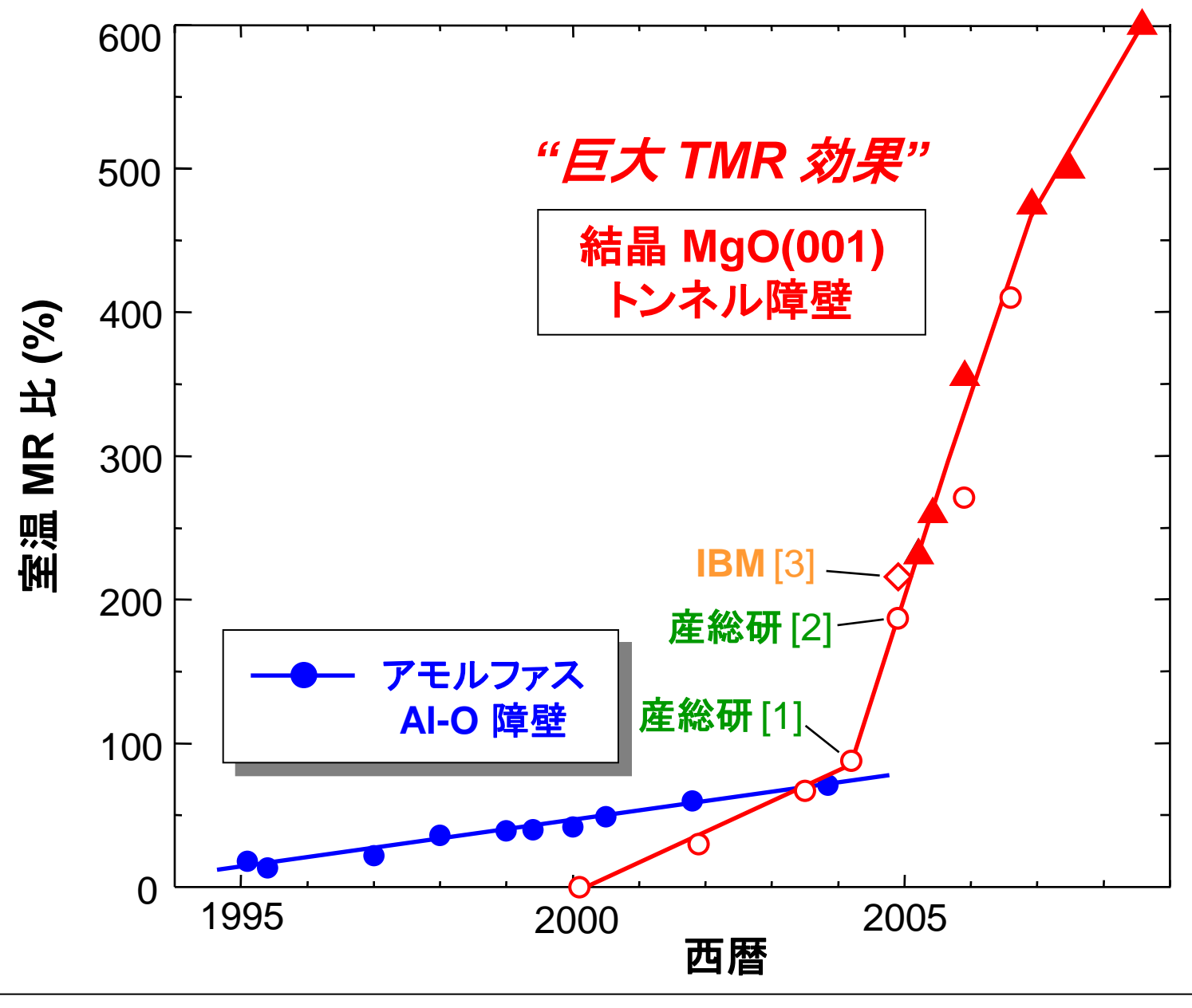


S. Yuasa et al., Nature Mater. 3, 868 (2004).

#### 配向性多結晶 MgO(001) 障壁



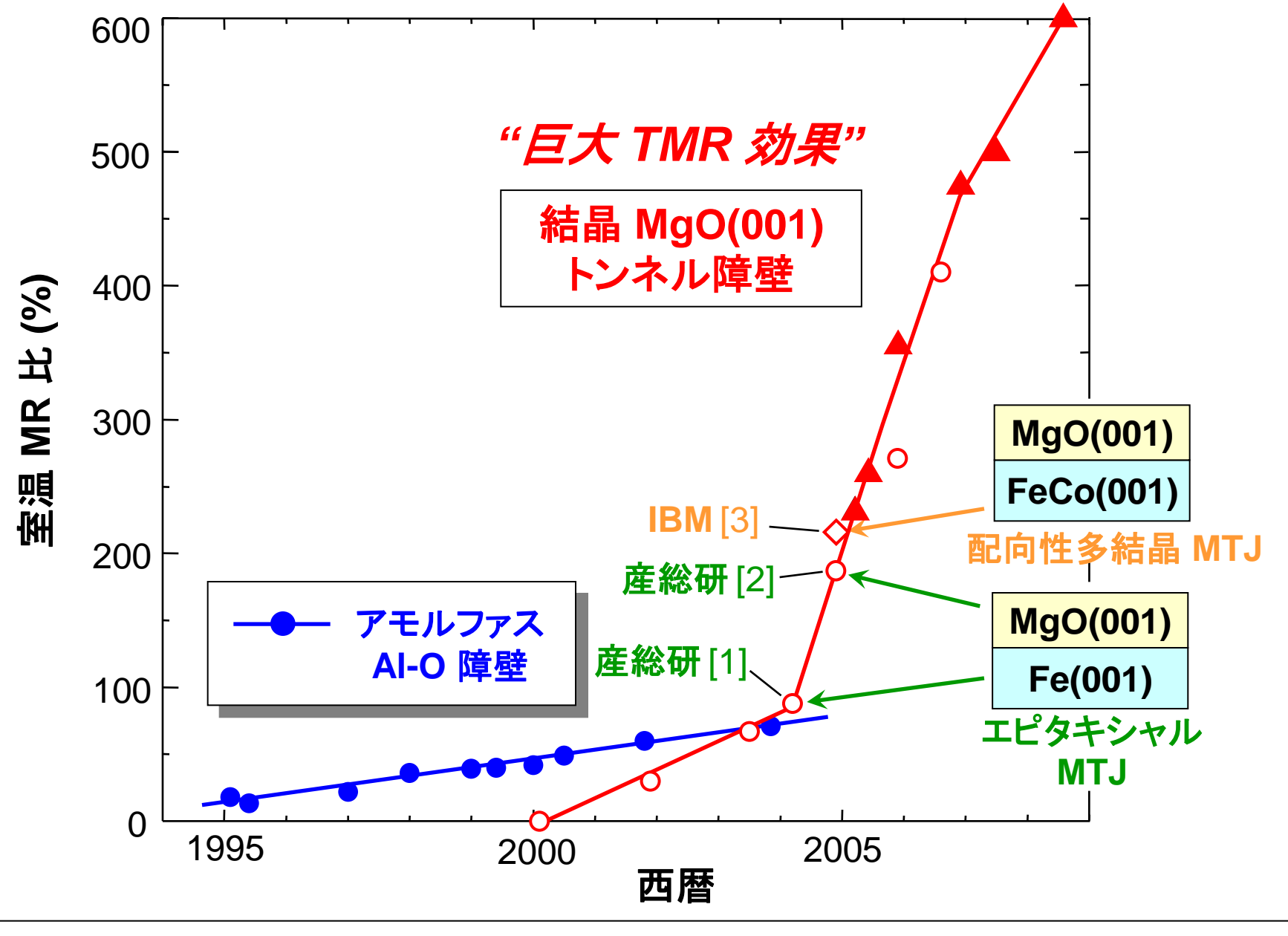
S.S.P. Parkin *et al.*, *Nature Mater.* **3**, 862 (2004).



[1] Yuasa, Jpn. J. Appl. Phys. 43, L558 (2004).[2] Yuasa, Nature Mater. 3, 868 (2004).[3] Parkin, Nature Mater. 3, 862 (2004).

#### 本日の内容

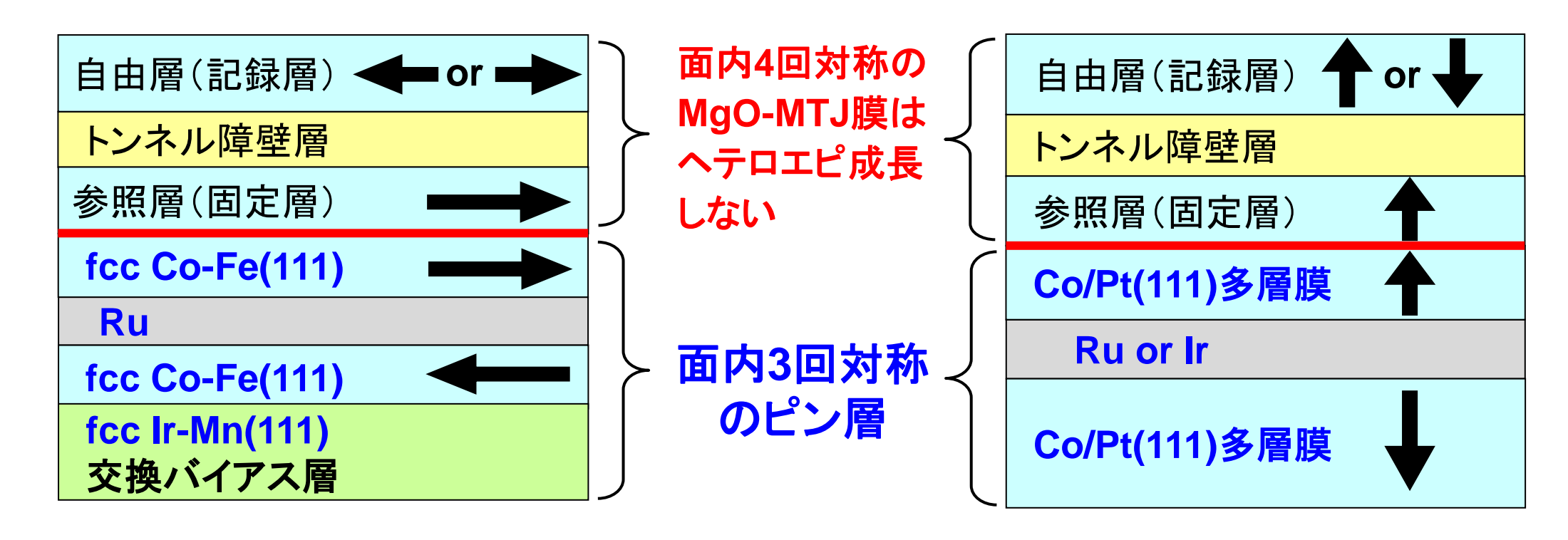
- 1. はじめに
  - ▶ 磁気抵抗効果とスピントロニクス
  - ➤ 磁気トンネル接合(MTJ)のトンネル磁気抵抗効果(TMR効果)
  - ▶ アモルファルAI-Oトンネル障壁のTMR効果、その応用と限界
- 2. 結晶MgOトンネル障壁の巨大TMR効果
  - ➤ エピタキシャルMgO(001)トンネル障壁
  - ➤ CoFeB/MgO/CoFeB構造のMTJ
- 3. ハードディスク(HDD)
- 4. 不揮発性メモリ STT-MRAM
  - ➤ スピン転移トルク(STT)
  - ➤ 垂直磁化STT-MRAM
- 5. まとめ、今後の課題



[1] Yuasa, Jpn. J. Appl. Phys. 43, L558 (2004).[2] Yuasa, Nature Mater. 3, 868 (2004).[3] Parkin, Nature Mater. 3, 862 (2004).

## MgO-MTJのデバイス応用を阻む "結晶成長" の問題

▶ MgO(001)障壁およびbcc(001)電極は面内4回対称構造を持つため、 信頼性のあるfcc(111)ピン層(面内3回対称)の上に作製することは困難

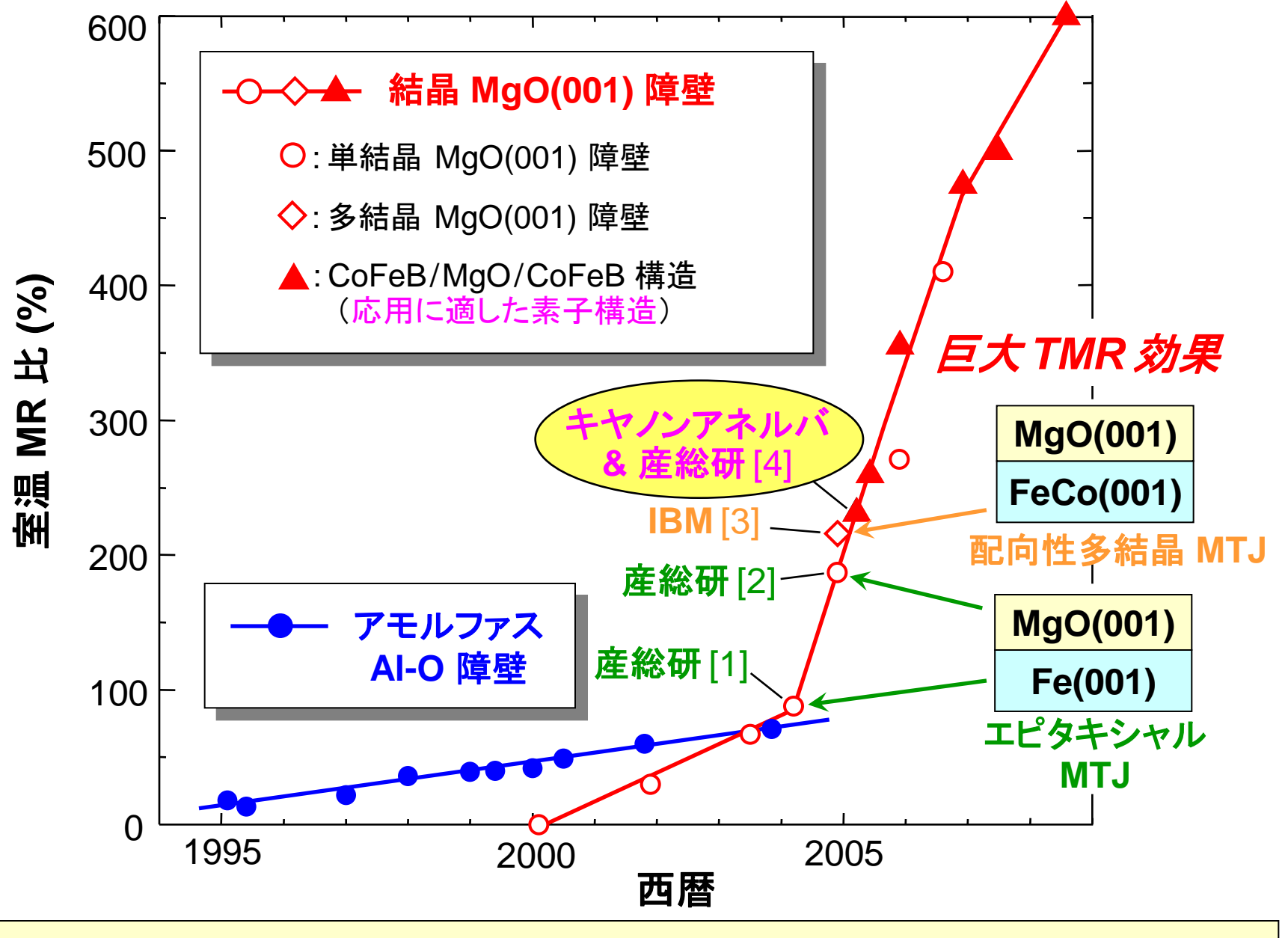


## MTJ (面内磁化)

(HDD磁気ヘッド用)

## MTJ (垂直磁化)

(STT-MRAM用)



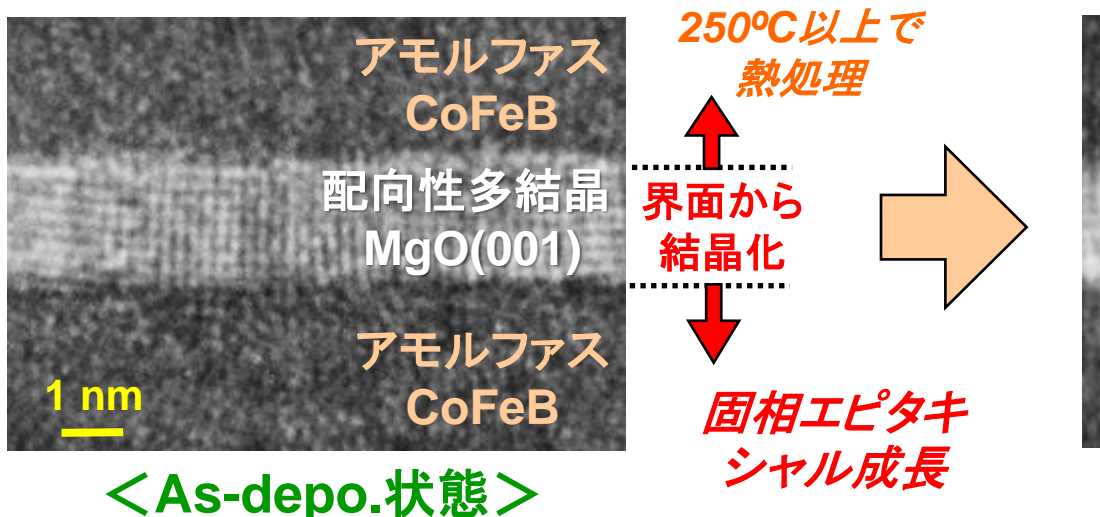
[1] Yuasa, *Jpn. J. Appl. Phys.* **43**, L558 (2004). [2] Yuasa, *Nature Mater.* **3**, 868 (2004).

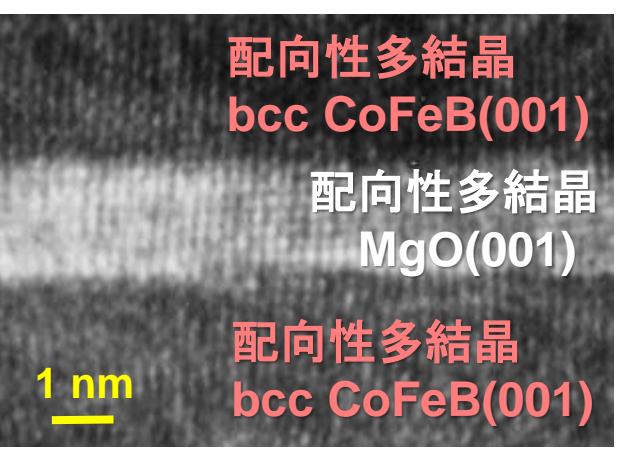
[3] Parkin, Nature Mater. 3, 862 (2004). [4] Djayaprawira, SY, APL 86, 092502 (2005).

## デバイス応用を可能とする CoFeB/MgO/CoFeB 構造を開発

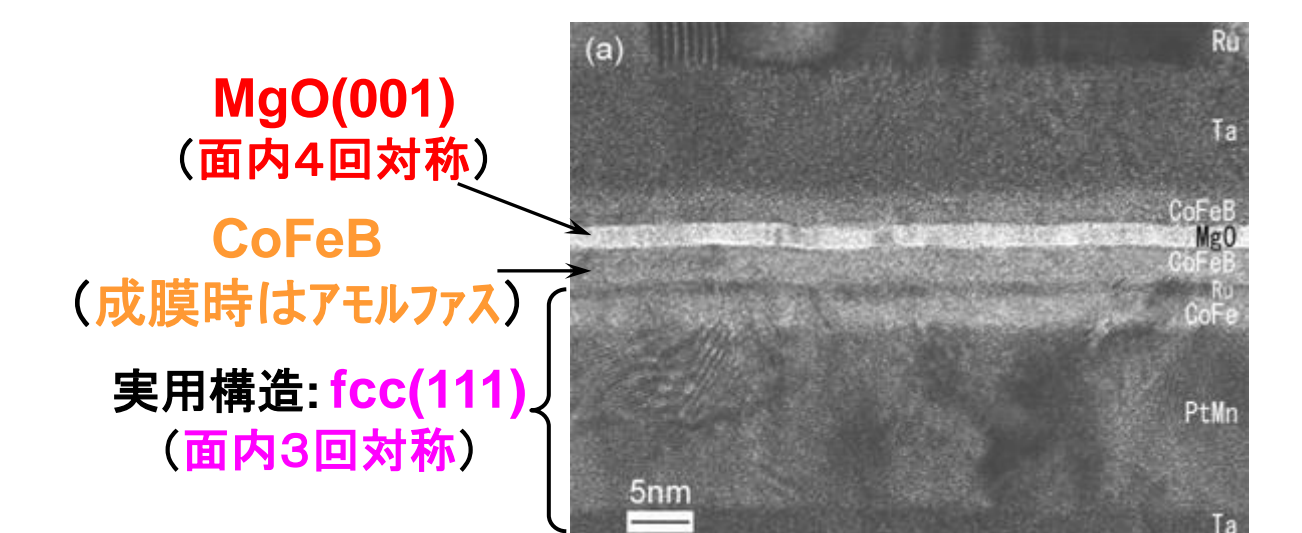
#### キヤノンアネルバ&産総研

D. D. Djayaprawira, SY et al., Appl. Phys. Lett. 86, 092502 (2005).





〈アニール後〉

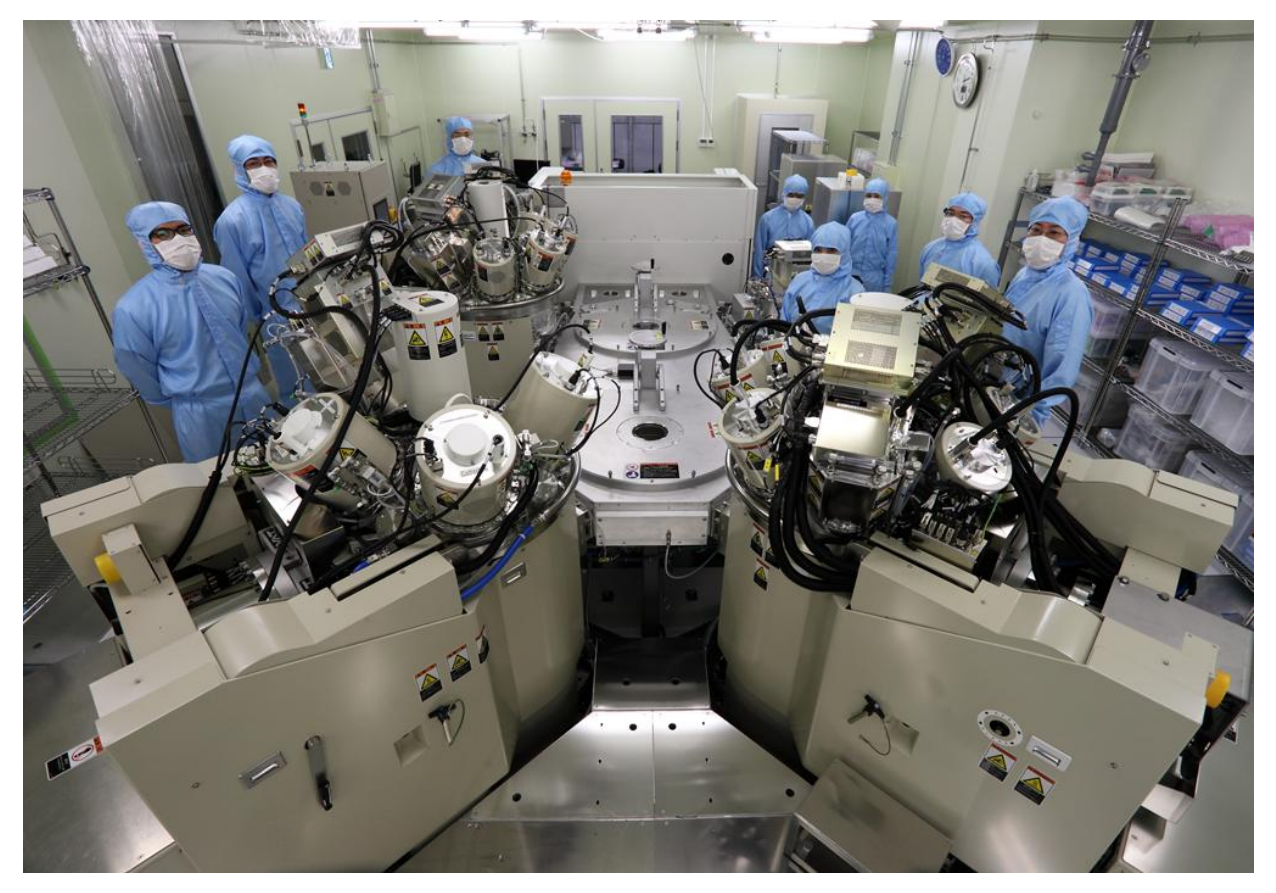


## 産業応用の中核技術

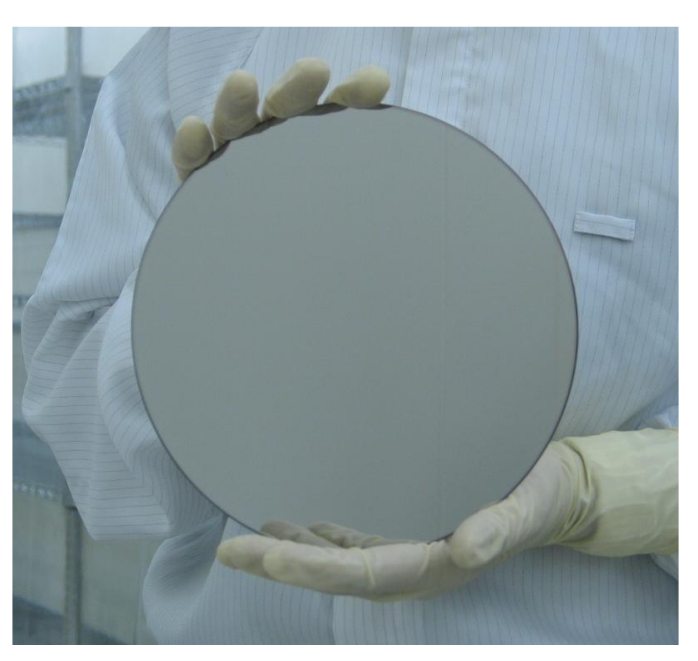
世界中のデバイスメーカーが CoFeB/MgO/CoFeBを用いて 製品開発を開始

## CoFeB/MgO/CoFeB – MTJの量産プロセスを開発

#### キヤノンアネルバ&産総研



産業用の大型スパッタ成膜装置



φ200-300 mmウェーハ上に 大量生産が可能

世界中のデバイスメーカーがCoFeB/MgO/CoFeBを用いた製品開発を開始

## キャップ層の影響

Ta or Ru(キャップ層)

CoFeB 自由層

MgO(001) 障壁層

CoFeB 参照層

Ru スペーサ層

標準的な構造

**MR** ratio > 200%

Ni-Fe(パーマロイ)

CoFeB 自由層

MgO(001) 障壁層

CoFeB 参照層

Ru スペーサ層

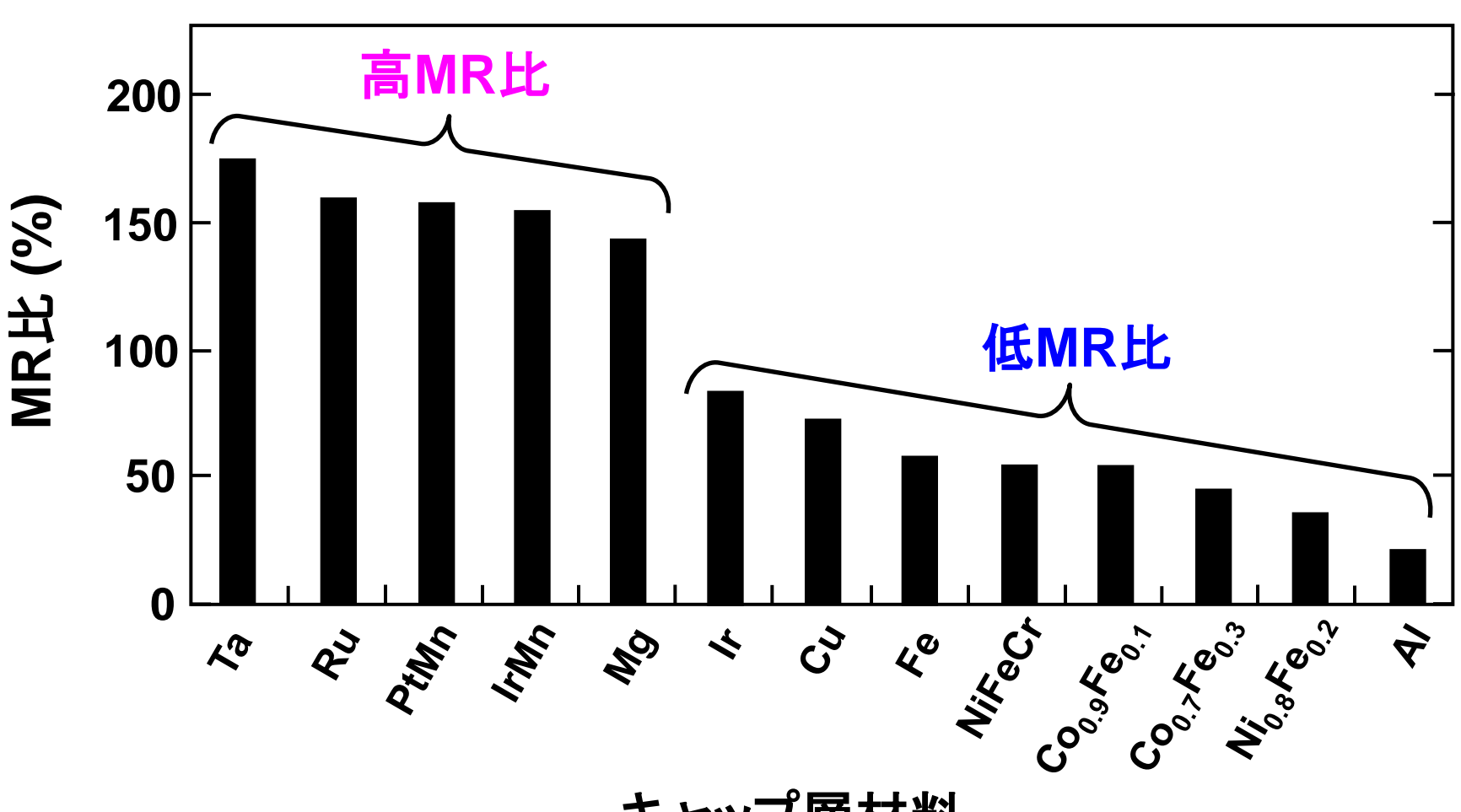
Ni-Feキャップ層

**MR** ratio < 50%

なぜ?

## キャップ層の影響

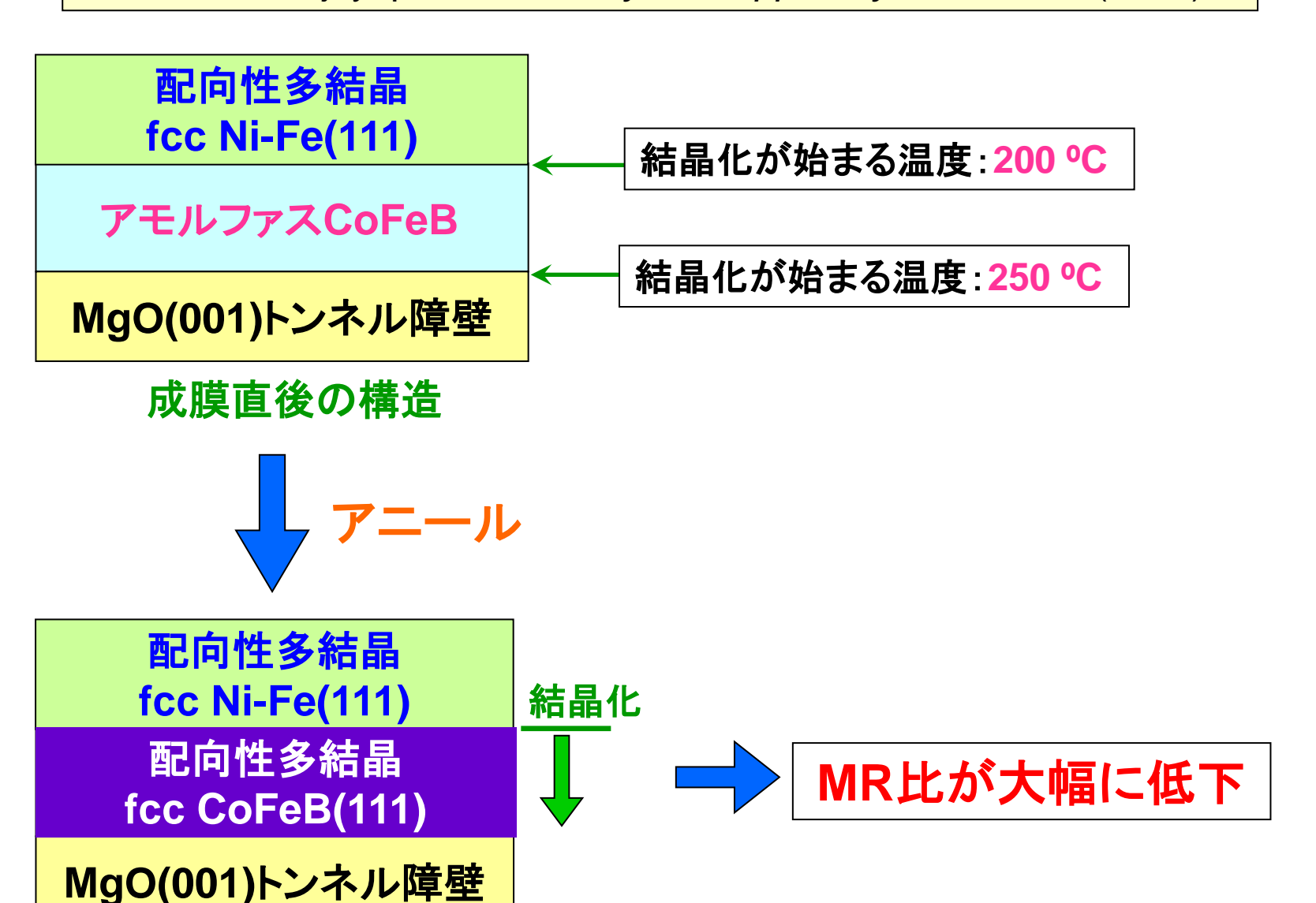
K. Tsunekawa *et al.*, *Intermag 2005*, HP-08. Yuasa and Djayaprawira, *J. Phys. D: Appl. Phys.* **40**, R337 (2007).



キャップ層材料なぜ?

### CoFeBの結晶化

Yuasa *et al.*, *Appl. Phys. Lett.* **87**, 242503 (2005). Yuasa and Djayaprawira, *J. Phys. D: Appl. Phys.* **40**, R337 (2007).



#### 磁気ヘッド応用のためのMTJ積層構造

fcc Ni-Fe(111)

アモルファスCoFeB

MgO(001)

成膜直後の構造



fcc Ni-Fe(111)

bcc CoFeB(001)

MgO(001)



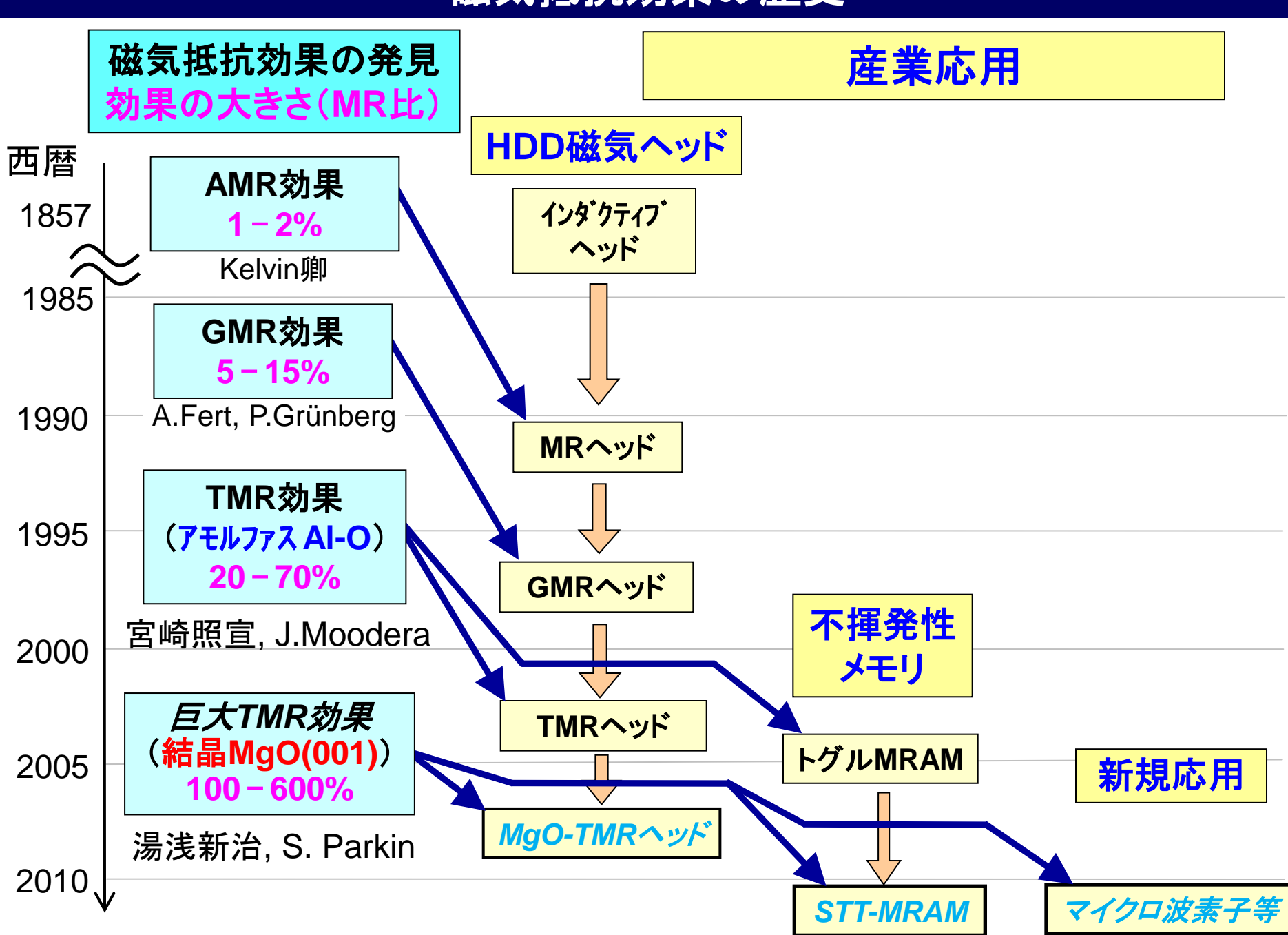


巨大なMR比

超薄Ta層がNi-Fe側からの結晶化を阻害

低B濃度CoFe(B)層がMgO側からの結晶化を促進

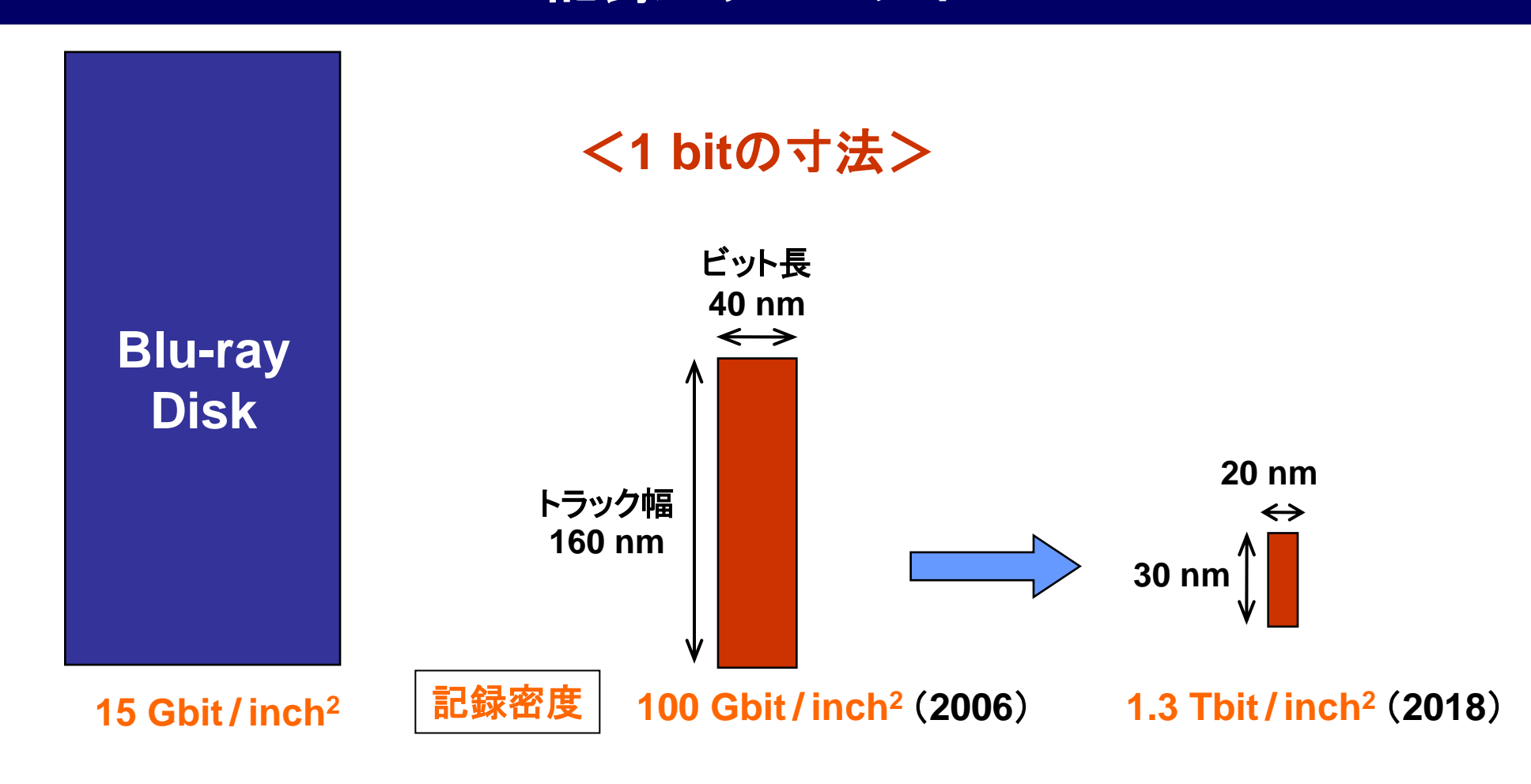
### 磁気抵抗効果の歴史



#### 本日の内容

- 1. はじめに
  - ▶ 磁気抵抗効果とスピントロニクス
  - ➤ 磁気トンネル接合(MTJ)のトンネル磁気抵抗効果(TMR効果)
  - ▶ アモルファルAI-Oトンネル障壁のTMR効果、その応用と限界
- 2. 結晶MgOトンネル障壁の巨大TMR効果
  - ➤ エピタキシャルMgO(001)トンネル障壁
  - ➤ CoFeB/MgO/CoFeB構造のMTJ
- 3. ハードディスク(HDD)
- 4. 不揮発性メモリ STT-MRAM
  - ➤ スピン転移トルク(STT)
  - ➤ 垂直磁化STT-MRAM
- 5. まとめ、今後の課題

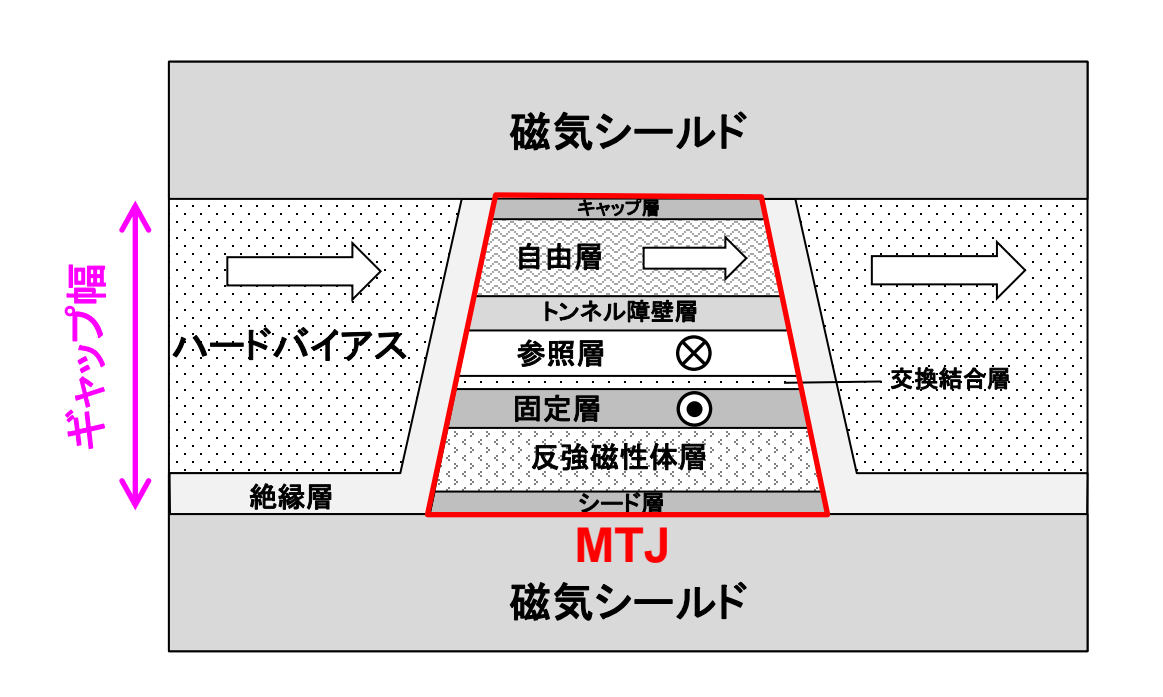
# HDD記録ビットのサイズ

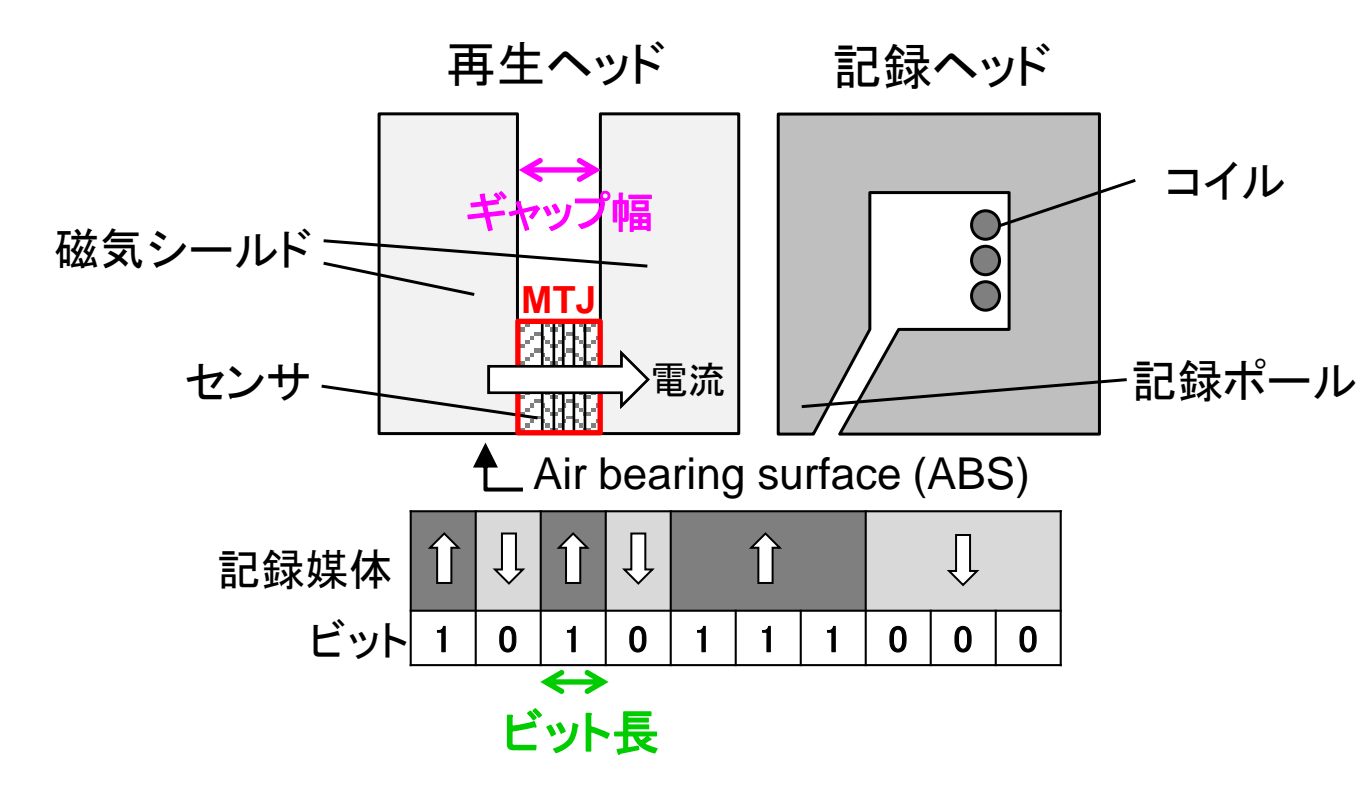


MTJへの要求: (1) S/N比向上のための大きなMR比

- (2) インピーダンス整合(高速読み出し)のための低いトンネル抵抗(低いRA値)
- (3) シールドのギャップ内に収まる磁気抵抗多層膜の厚さ

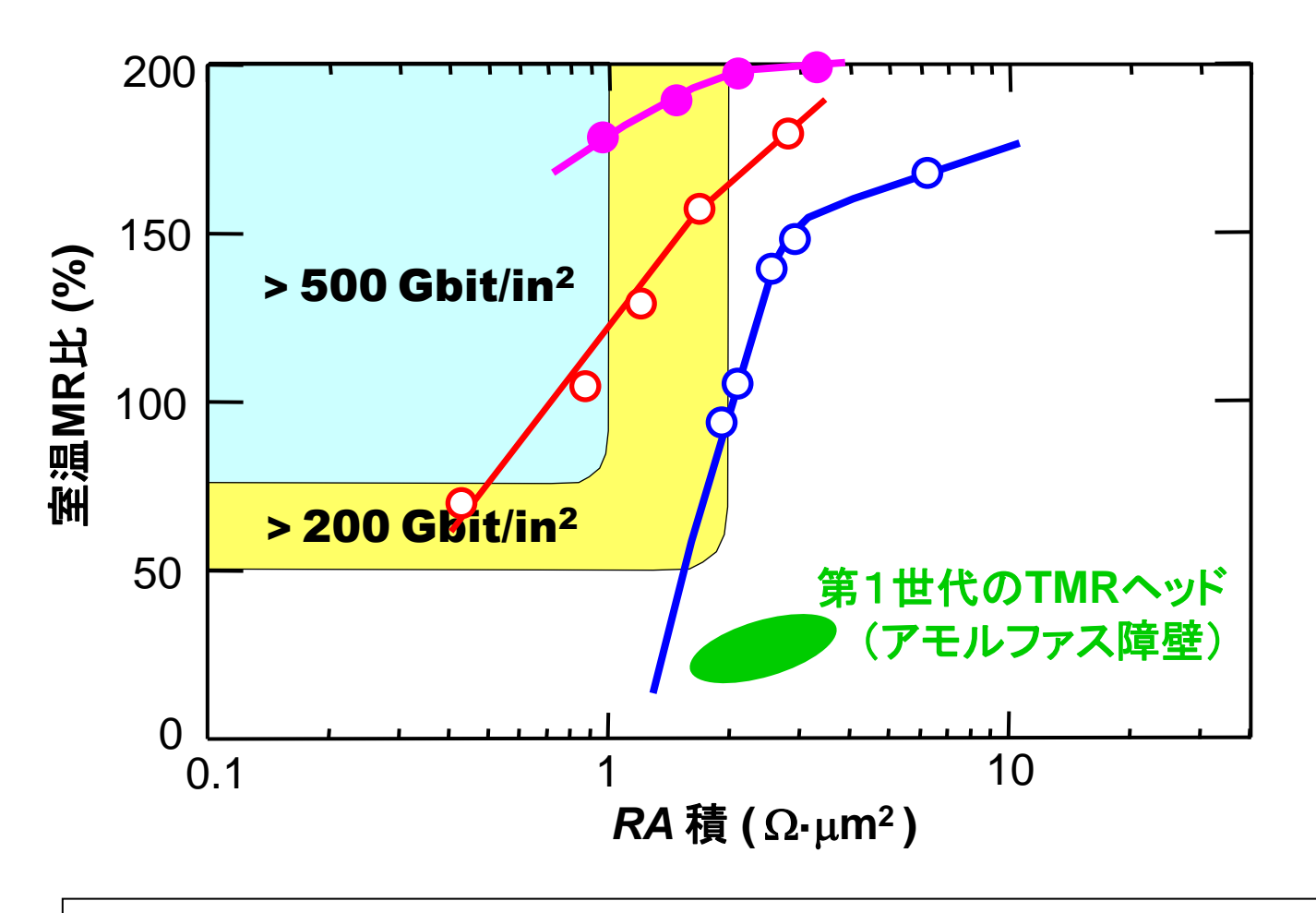
## HDD磁気ヘッドの基本構造

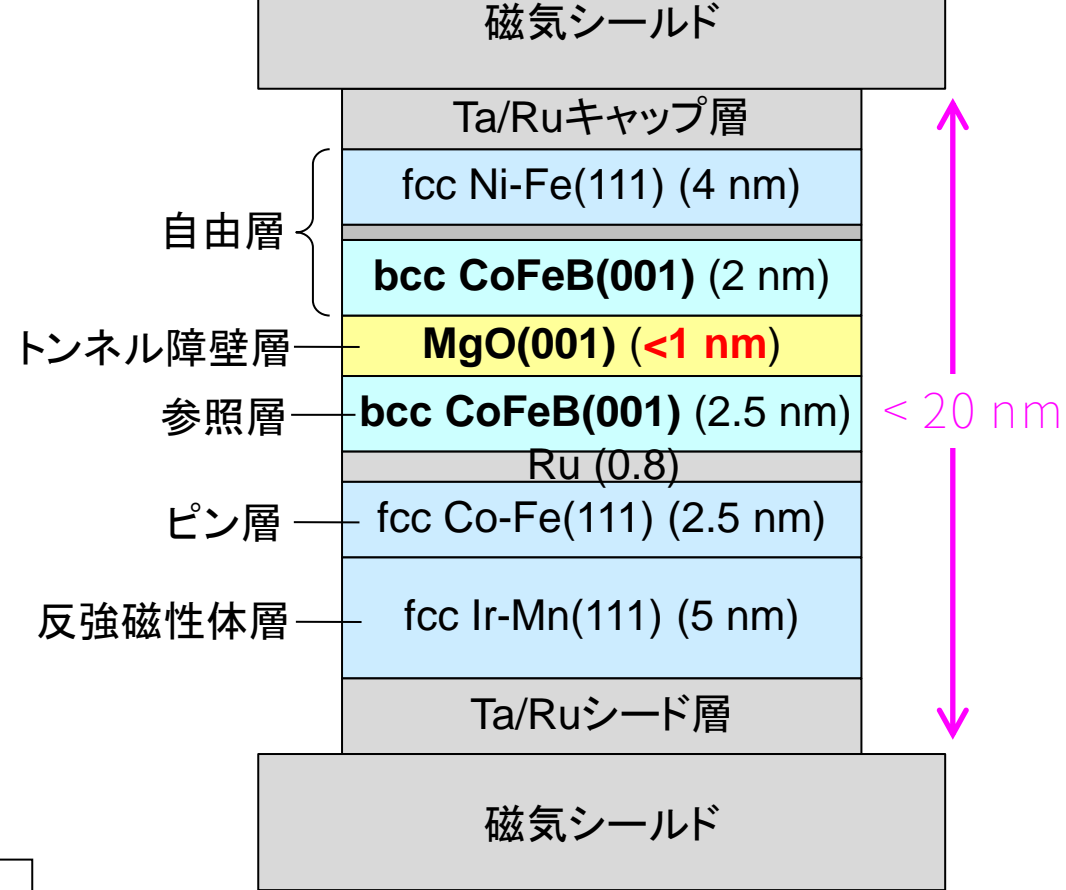




磁気抵抗多層膜の厚さ < ギャップ幅 ≒ ビット長(~20 nm)

## MgO(001)トンネル障壁で超低RAと高MR比を両立

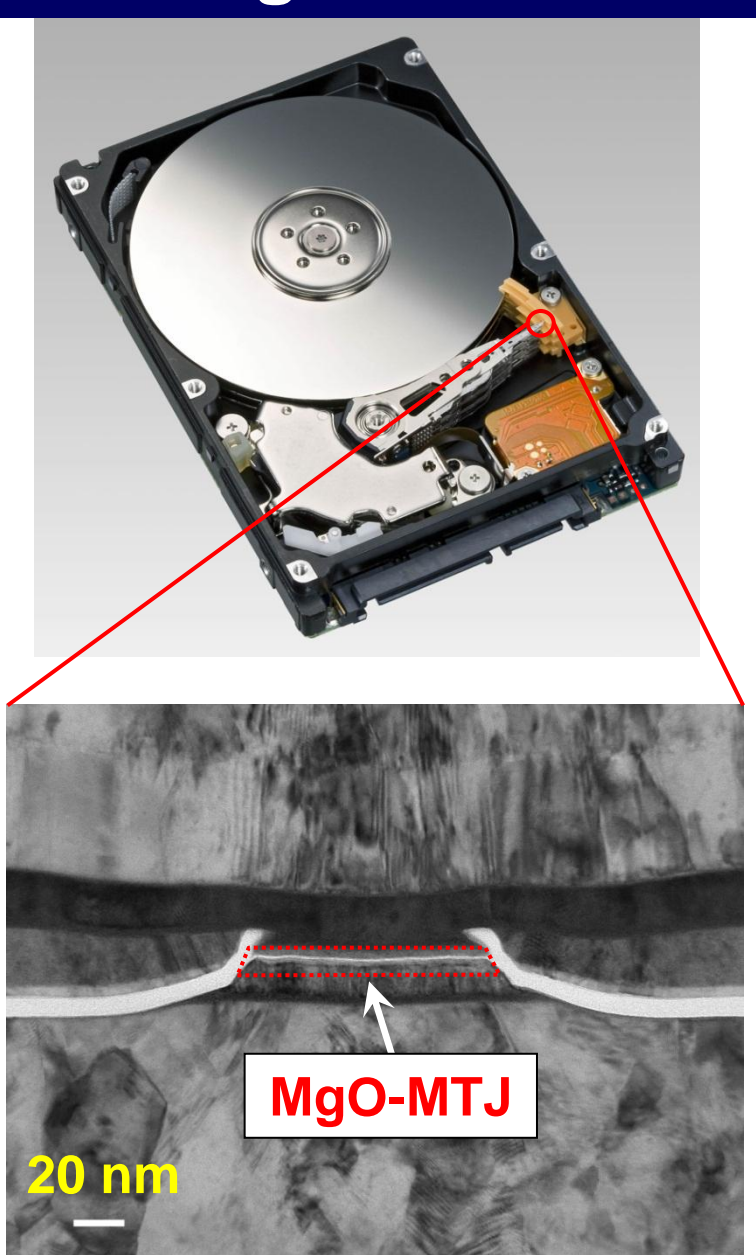




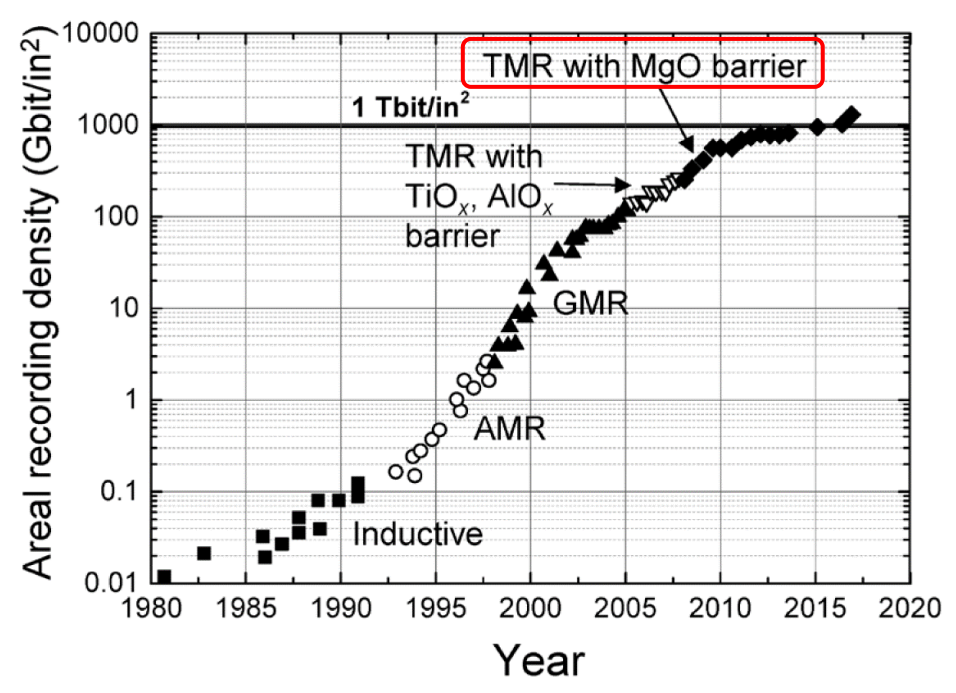
- K. Tsunekawa, SY, <u>YS</u> et al., Appl. Phys. Lett. **87**, 072503 (2005).
- Y. Nagamine, SY *et al.*, *Appl. Phys. Lett.* **89**, 162507 (2006).
- H. Maehara, SY et al., Appl. Phys. Express 4, 033002 (2011).

MgO-TMRヘッドの典型的な積層構造

# MgO-TMRヘッドを用いた ハードディスク(HDD)



断面TEM写真



HDDの面記録密度と磁気へッド技術の変遷 (中谷友也、まぐね 14巻5号 (2019).)

- ▶ 2007年から現在までHDDに搭載
- ➤ 面記録密度 1.5 Tbit/in²(従来の10倍)
- HDDはデータセンターの主流ストレージとして 全デジタル情報の7割を保存
- > HDDは約3兆円/年の市場規模を維持

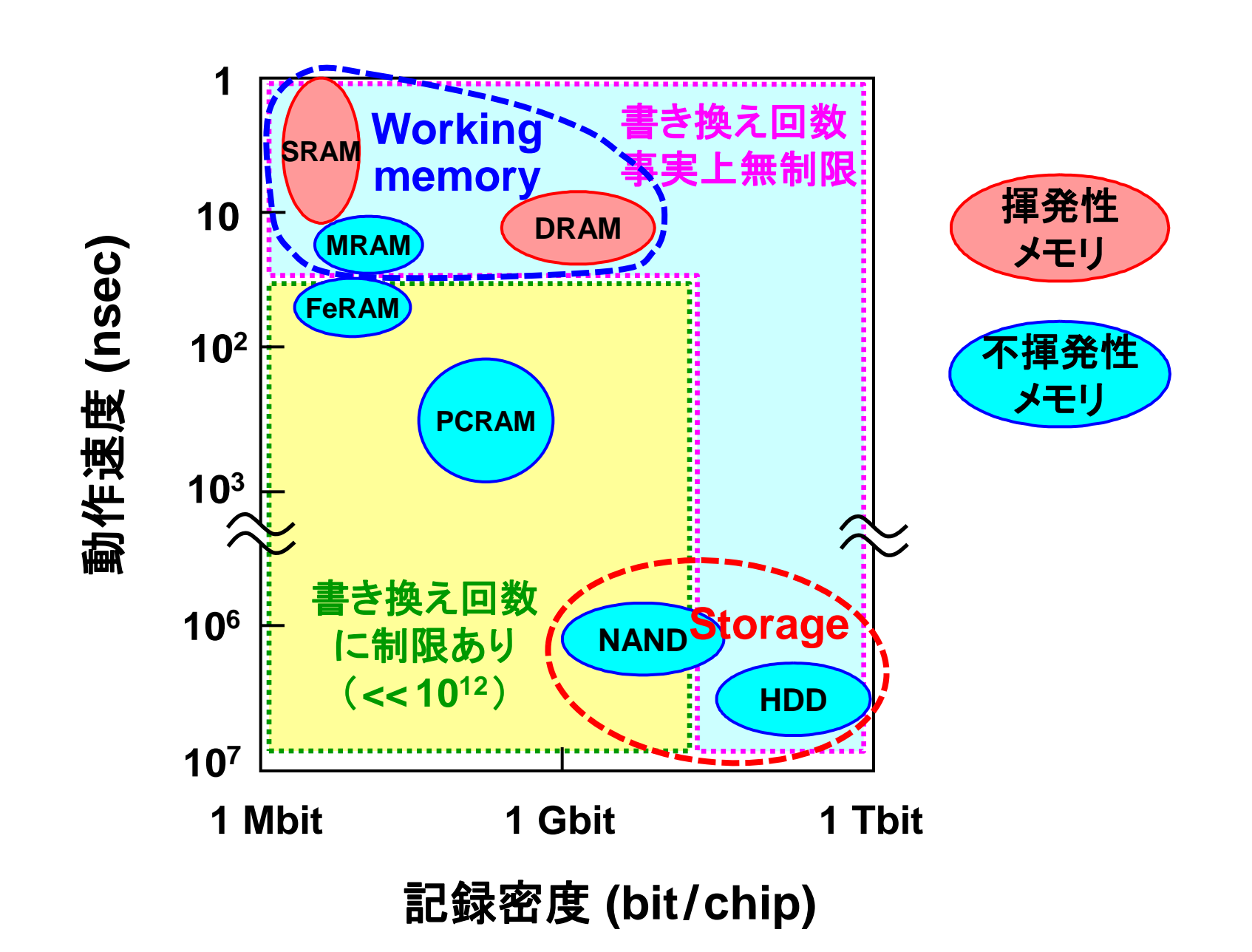
## HDD技術の今後

- ➤ 記録密度 ~ 3 Tbit/inch² までは、現行のMgO-TMRへッド技術で十分対応可能
- ➤ ここ数年、HDDの記録密度は約1.5 Tbit/inch²で頭打ちになっていたが、最近 米国シーゲイト社が熱アシスト磁気記録(HAMR)の製品化に成功したため、 今後、記録密度の大幅な増大が期待される
- ▶ もし記録密度が3 Tbit/inch²を大きく超えるようになれば、新規の再生磁気へッドが必要になる(かもしれない)が、次世代の本命技術はまだ見えていない⇒ 再び基礎研究の出番あり
- ⇒ 当面、データセンターの主流ストレージはHDD、それ以外の市場はSSD、という 棲み分けが続くだろうが、うかうかしているとデータセンター市場もSSDに侵食 される。そうならないために、HDDのさらなる高密度化が必要

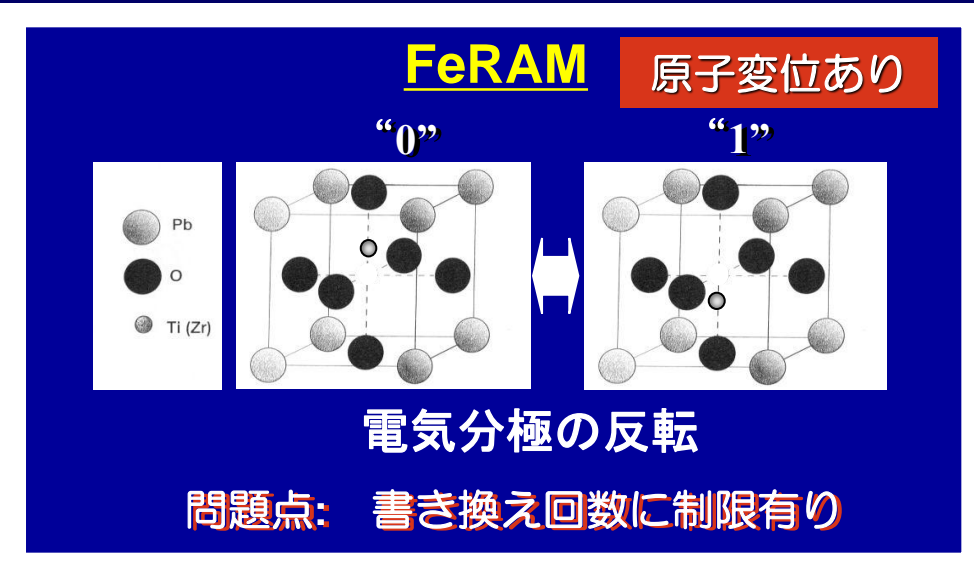
#### 本日の内容

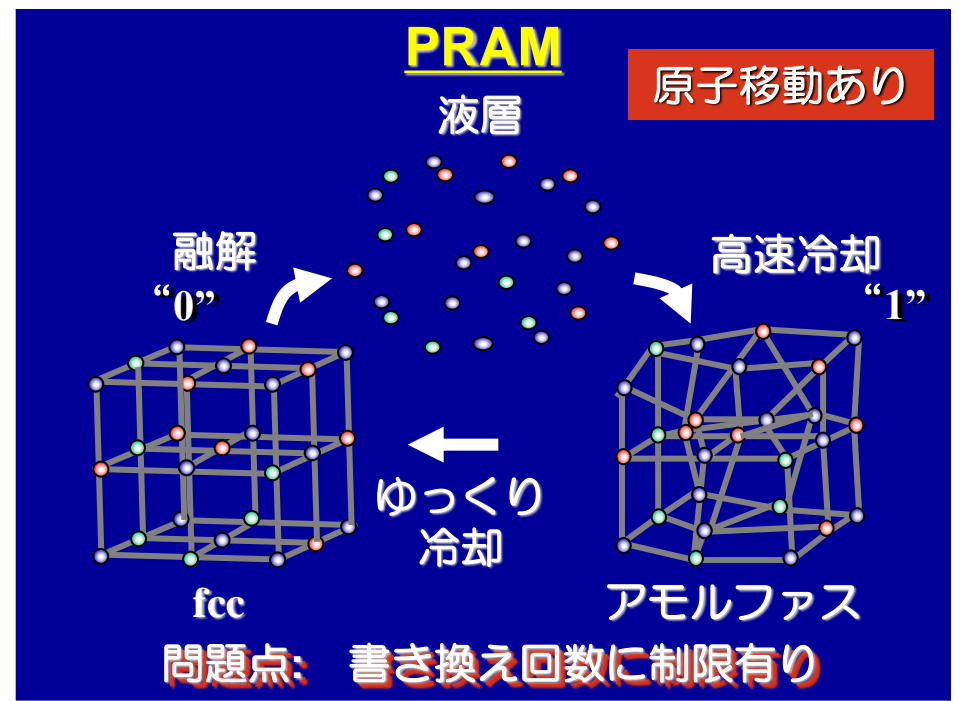
- 1. はじめに
  - ▶ 磁気抵抗効果とスピントロニクス
  - ➤ 磁気トンネル接合(MTJ)のトンネル磁気抵抗効果(TMR効果)
  - ▶ アモルファルAI-Oトンネル障壁のTMR効果、その応用と限界
- 2. 結晶MgOトンネル障壁の巨大TMR効果
  - ➤ エピタキシャルMgO(001)トンネル障壁
  - ➤ CoFeB/MgO/CoFeB構造のMTJ
- 3. ハードディスク(HDD)
- 4. 不揮発性メモリ STT-MRAM
  - ➤ スピン転移トルク(STT)
  - ➤ 垂直磁化STT-MRAM
- 5. まとめ、今後の課題

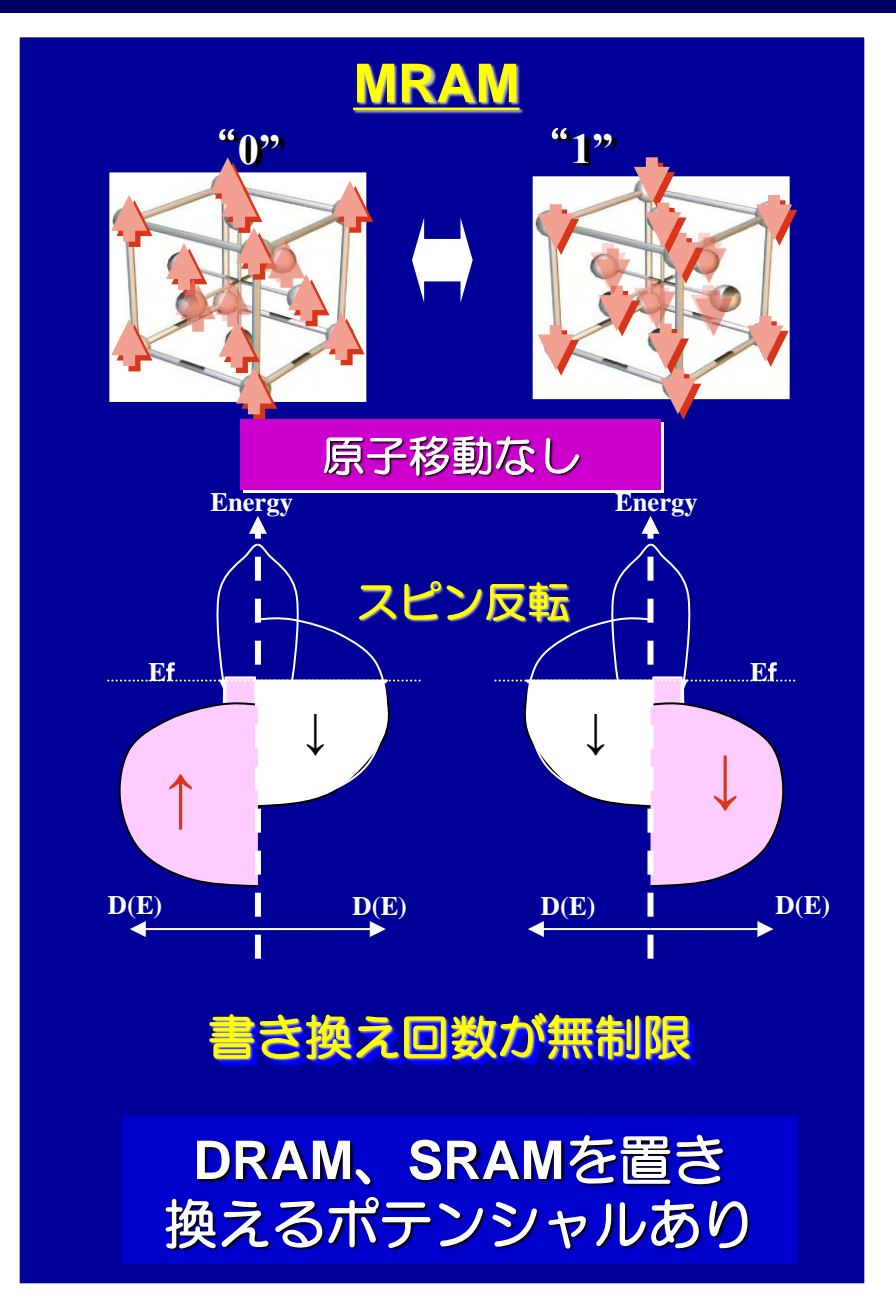
## メモリに要求される3つの重要特性:動作速度、記録密度、書き換え耐性



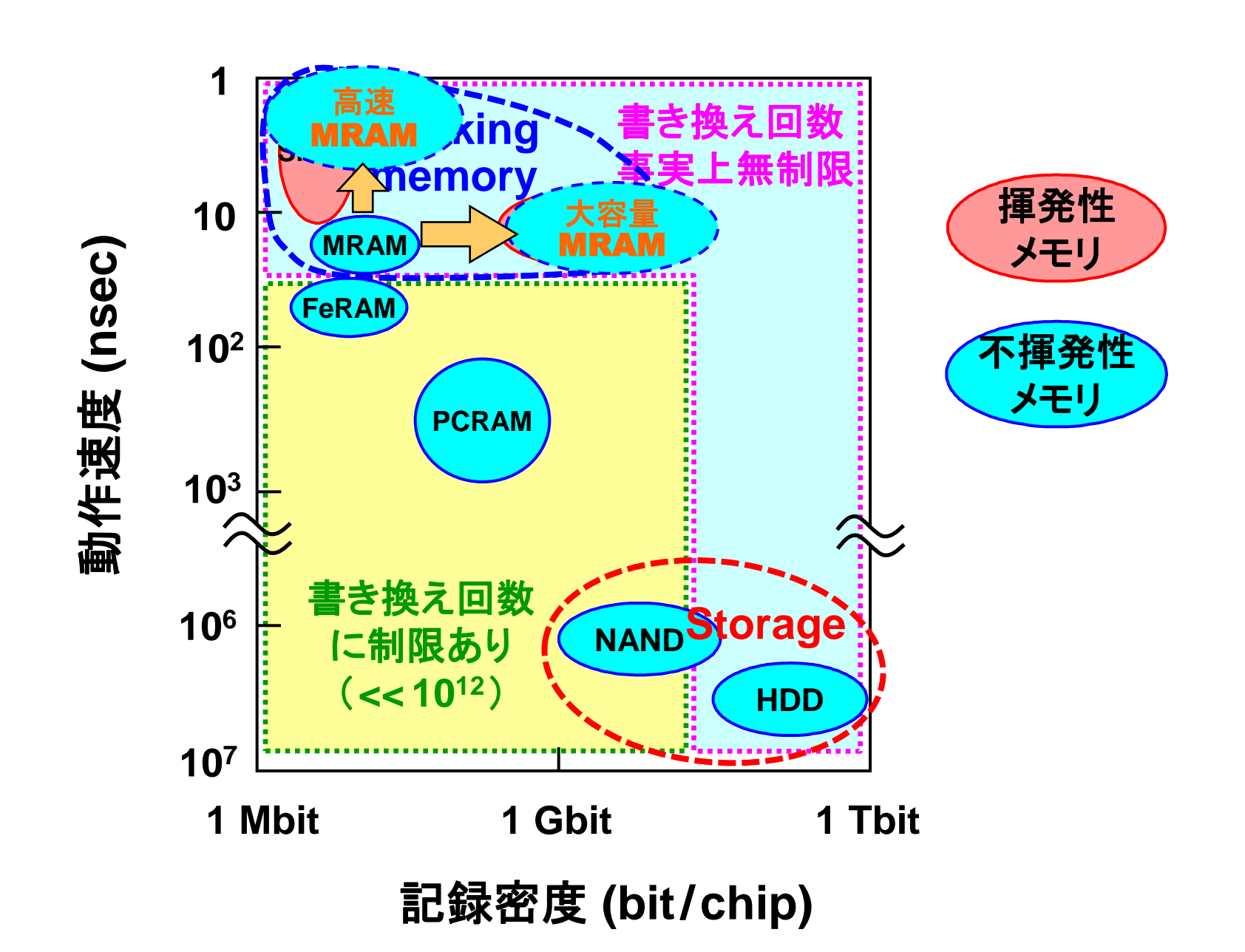
## 不揮発メモリの 記憶メカニズム と書き換え耐性







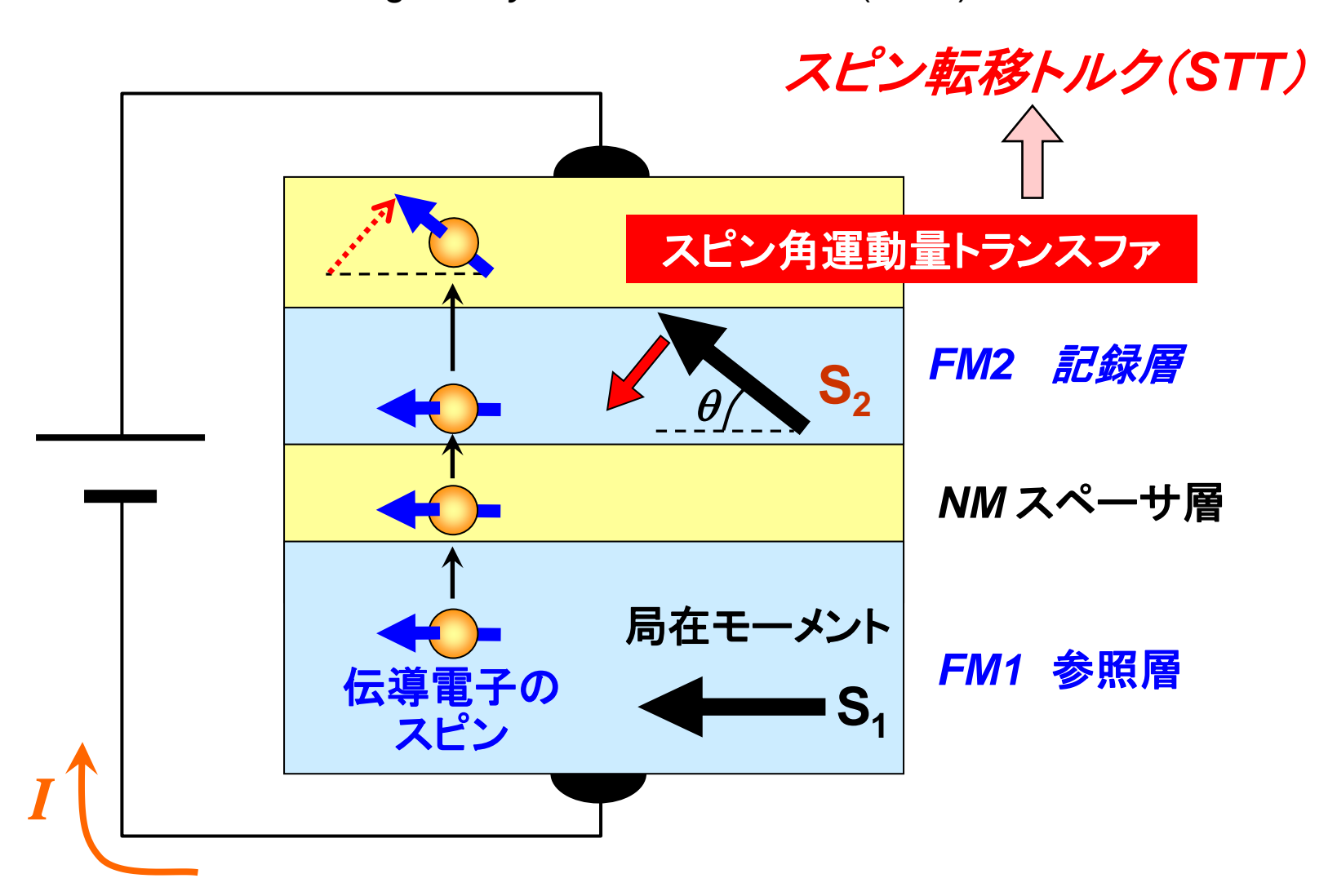
## メモリに要求される3つの重要特性:動作速度、記録密度、書き換え耐性



### スピン転移トルク (Spin-Transfer Torque: STT)

J. Slonczewski, *J. Magn. Magn. Mater.* **159**, L1 (1996).

L. Berger, *Phys. Rev. B* **54**, 9353 (1996).



## STTの理論

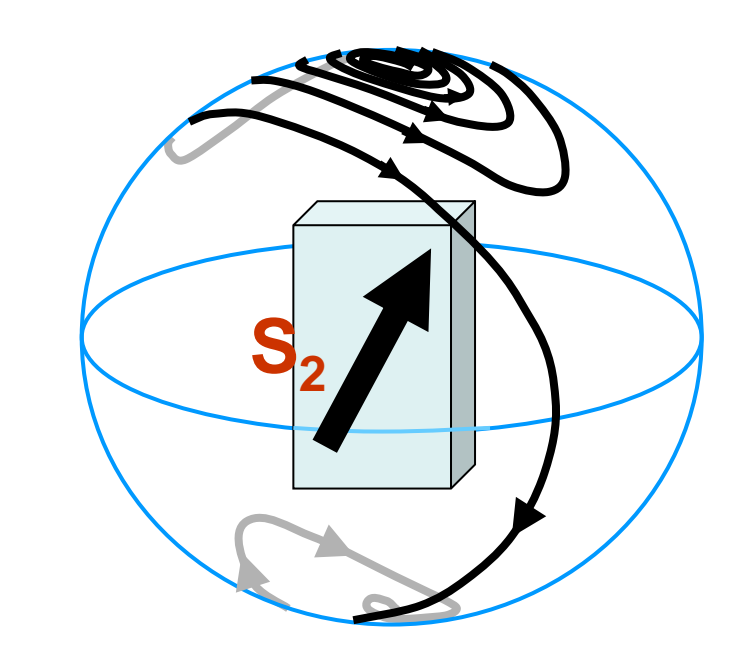
J. Slonczewski, *J. Magn. Magn. Mater.* **159**, L1 (1996).L. Berger, *Phys. Rev. B* **54**, 9353 (1996).

STTの大きさと方向 は電流に比例

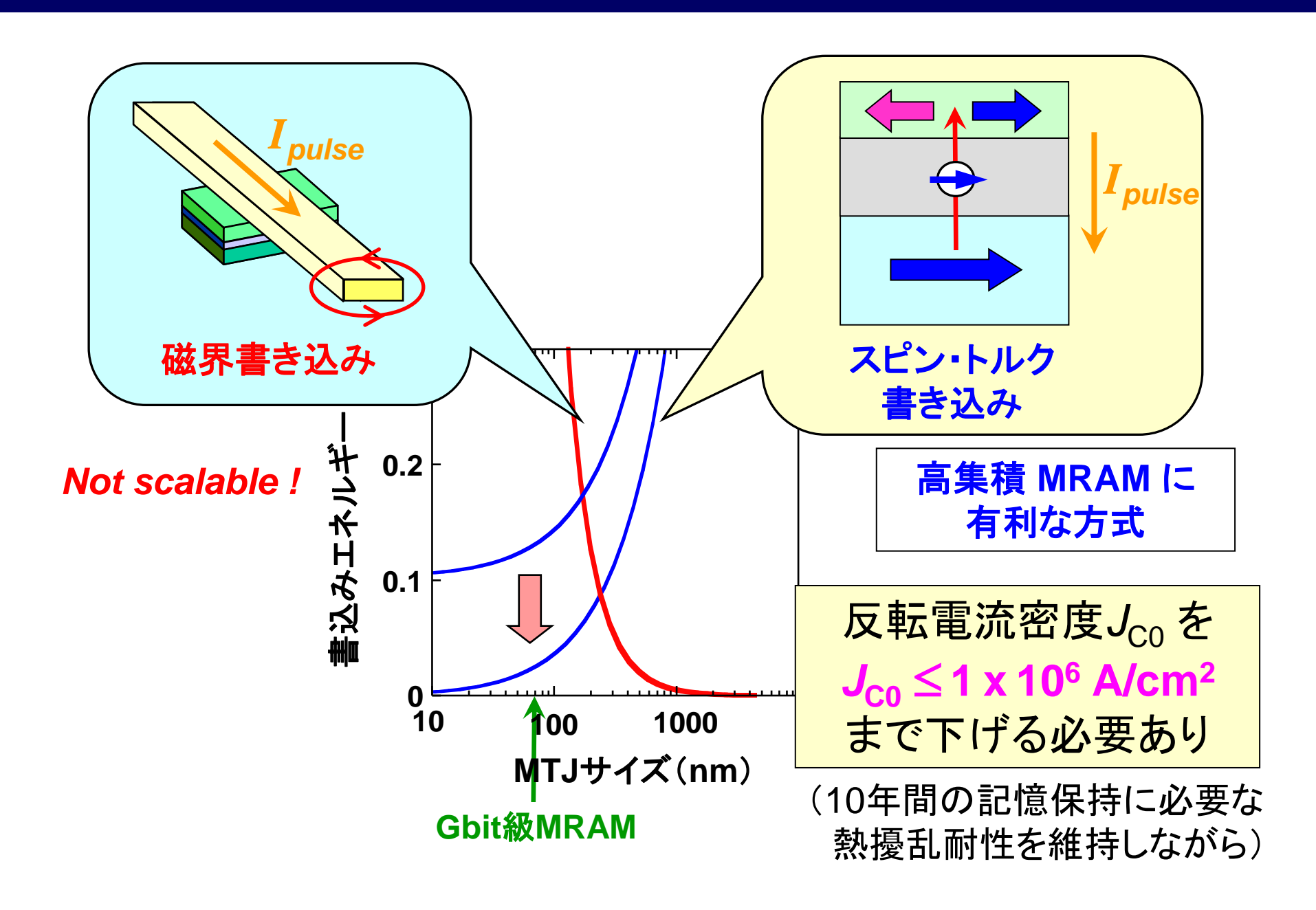
$$\dot{\mathbf{S}}_{2} = \underbrace{\gamma \mathbf{S}_{2} \times \mathbf{H}_{eff}}_{\text{歲差運動}} - \underbrace{\alpha \hat{\mathbf{S}}_{2} \times \dot{\mathbf{S}}_{2}}_{\text{微気摩擦}} + \underbrace{\gamma \beta_{S} I_{s} \hat{\mathbf{S}}_{2} \times (\hat{\mathbf{S}}_{2} \times \hat{\mathbf{S}}_{1})}_{\text{STT}}$$

磁化固定層 記録層  $H_{\text{eff}}$ 磁気摩擦 電流 I 歳差運動 STT S<sub>1</sub>

STT>磁気摩擦のとき $(I>I_{co})$ 、記録層の磁気モーメント $(S_2)$ の歳差運動の振幅が増幅され、磁化反転(スイッチング)に至る



## 電流磁界書き込み vs. スピン・トルク書き込み



#### 本日の内容

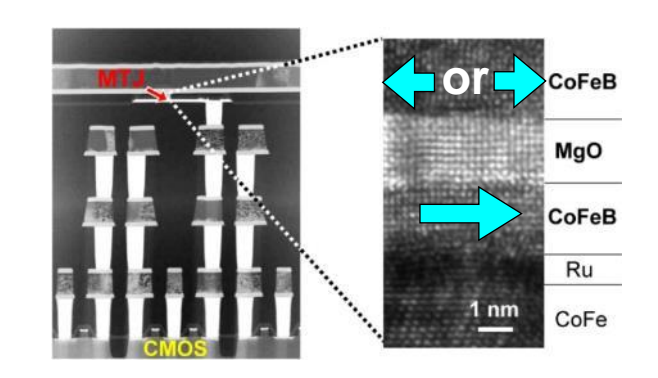
- 1. はじめに
  - ▶ 磁気抵抗効果とスピントロニクス
  - ➤ 磁気トンネル接合(MTJ)のトンネル磁気抵抗効果(TMR効果)
  - ▶ アモルファルAI-Oトンネル障壁のTMR効果、その応用と限界
- 2. 結晶MgOトンネル障壁の巨大TMR効果
  - ➤ エピタキシャルMgO(001)トンネル障壁
  - ➤ CoFeB/MgO/CoFeB構造のMTJ
- 3. ハードディスク(HDD)
- 4. 不揮発性メモリ STT-MRAM
  - ➤ スピン転移トルク(STT)
  - ➤ 垂直磁化STT-MRAM
- 5. まとめ、今後の課題

## 第二世代の不揮発性メモリ STT-MRAM の研究開発

**2005** ソニー (M. Hosomi *et al.*, *IEDM* 2005.)

- 面内磁化 CoFeB/MgO/CoFeB

世界初のSTT-MRAM(面内磁化)

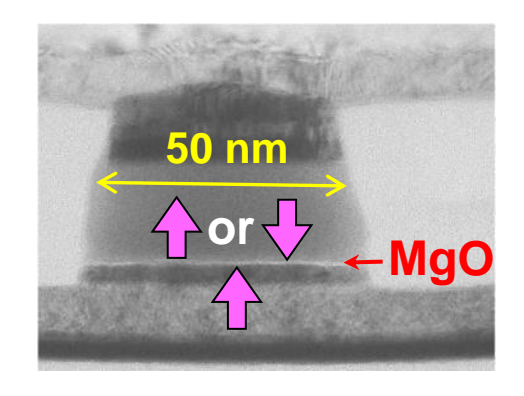


**2008** 東芝-産総研,他(T. Kishi *et al.*, *IEDM* 2008.)

-*垂直磁化* MgO-MTJ

世界初の垂直磁化STT-MRAM

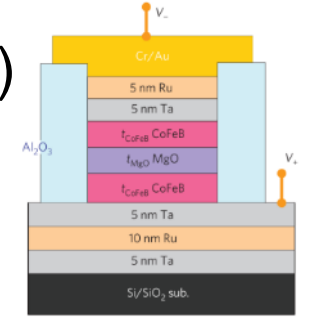
優れた記憶保持特性と低電流・高速書き込みを実証



**2010** 東北大・大野グループ (S. Ikeda *et al.*, *Nat. Mater*. 2010.)

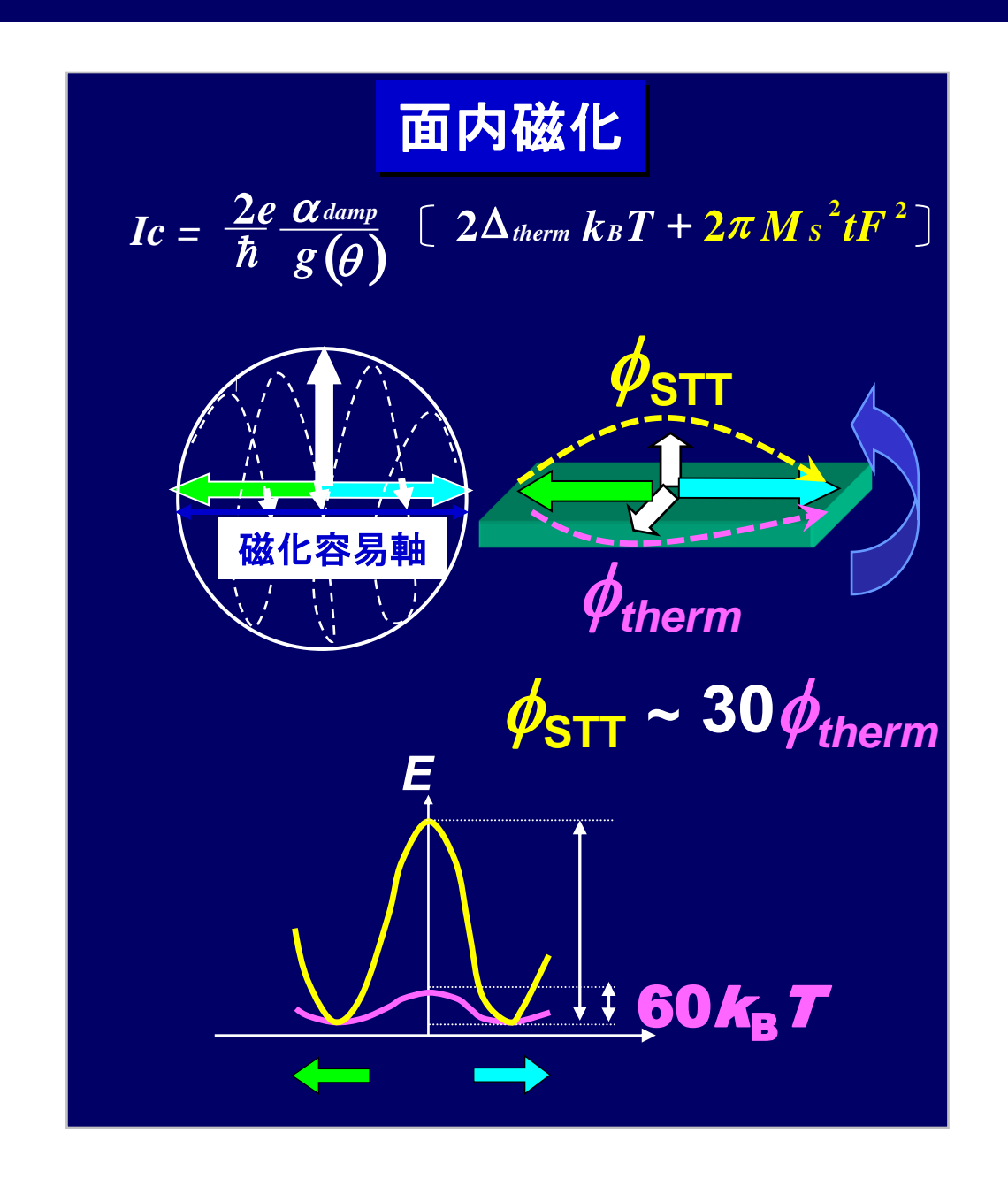
- 垂直磁化 CoFeB電極

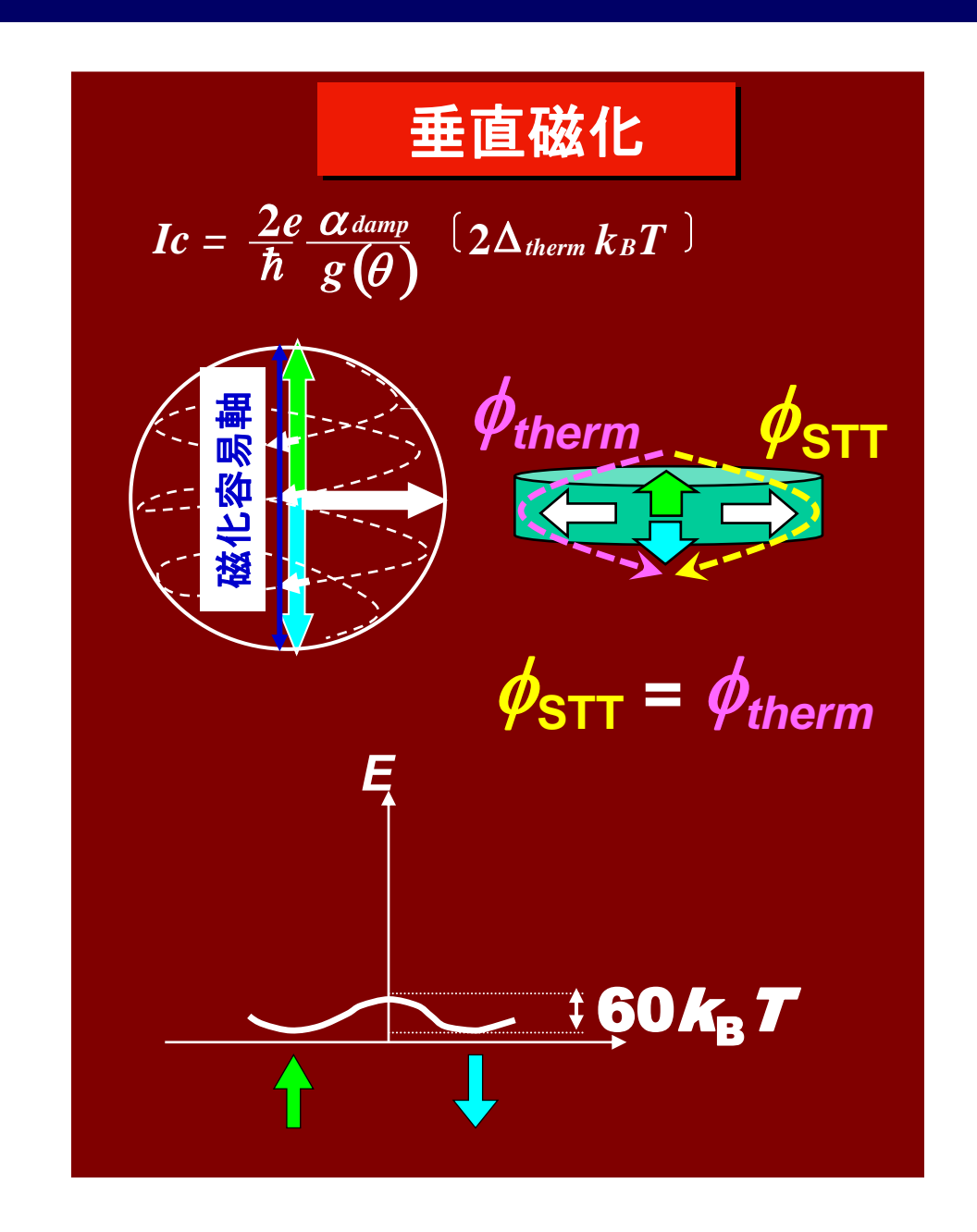
作製が容易な単層のCoFeBで垂直磁化を実現



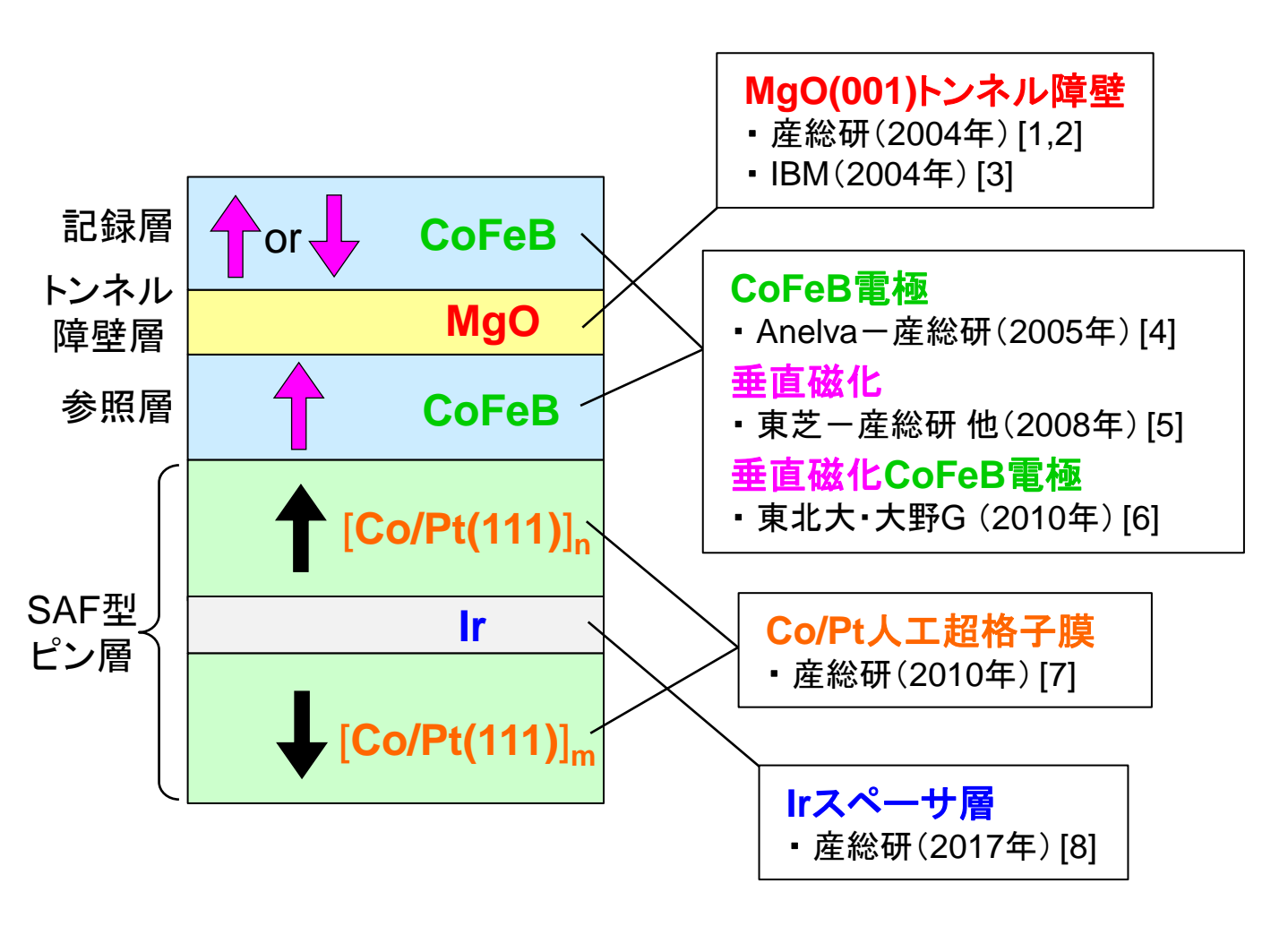


## 垂直磁化MTJは原理的に書き込み電流密度の低減に有利





## STT-MRAMのMTJの基本構造と先駆的論文



#### 先駆的論文と被引用回数

#### 被引用回数

- [1] S. Yuasa et al., JJAP 43, L558 (2004). 423
- [2] S. Yuasa et al., Nature Mater. 3, 868 (2004). 4175
- [3] S. Parkin et al., Nature Mater. 3, 862 (2004). 4129
- [4] D. Djayaprawira et al., APL 86, 092502 (2005).1265
- [5] T. Kishi et al., IEDM Tech. Dig. 12.6 (2008). 299
- [6] S. Ikeda et al., Nature Mater. 9, 721 (2010). 4228
- [7] K. Yakushiji et al., APL **97**, 232508 (2010). **303**
- [8] K. Yakushiji et al., APL 110, 092406 (2017). 100

## STT-MRAMの製品開発

STT-MRAMの詳しすぎるレビュー: D. C. Worledge & G. Hu, Nature Reviews Electrical Engineering 1, 730 (2024).

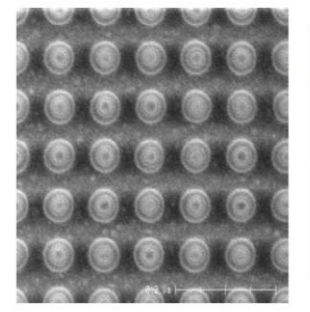


Fig. 2. Top view SEM image of MTJ array. Extremely tight pitched MTJ array was formed by patterning process.

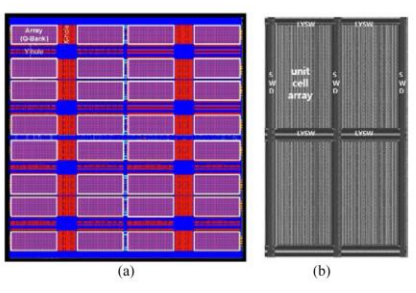


Fig. 3. (a) 4Gb STT-MRAM chip floor plan, and (b) symmetric unit cell array blocks.

#### 東芝ーハイニクス

4 Gbit STT-MRAMを試作

(IEDM 2016, ISSCC 2017)

この時点では圧倒的に世界をリード しかし、未だに事業化されず



米国 Everspin Technologies 社

1 Gbit STT-MRAMを製造・販売

https://www.everspin.com/

Samsung、TSMC、GF 混載STT-MRAMのファウンドリサービスを開始

ソニーはイメージセンサ混載用STT-MRAMを開発

## MRAMの現状と課題

▶ 現在のSTT-MRAMの主な用途は、演算チップに混載する不揮発性メモリ。従来技術のe-Flashが微細化限界に達したため、STT-MRAM や ReRAM に置き換え中

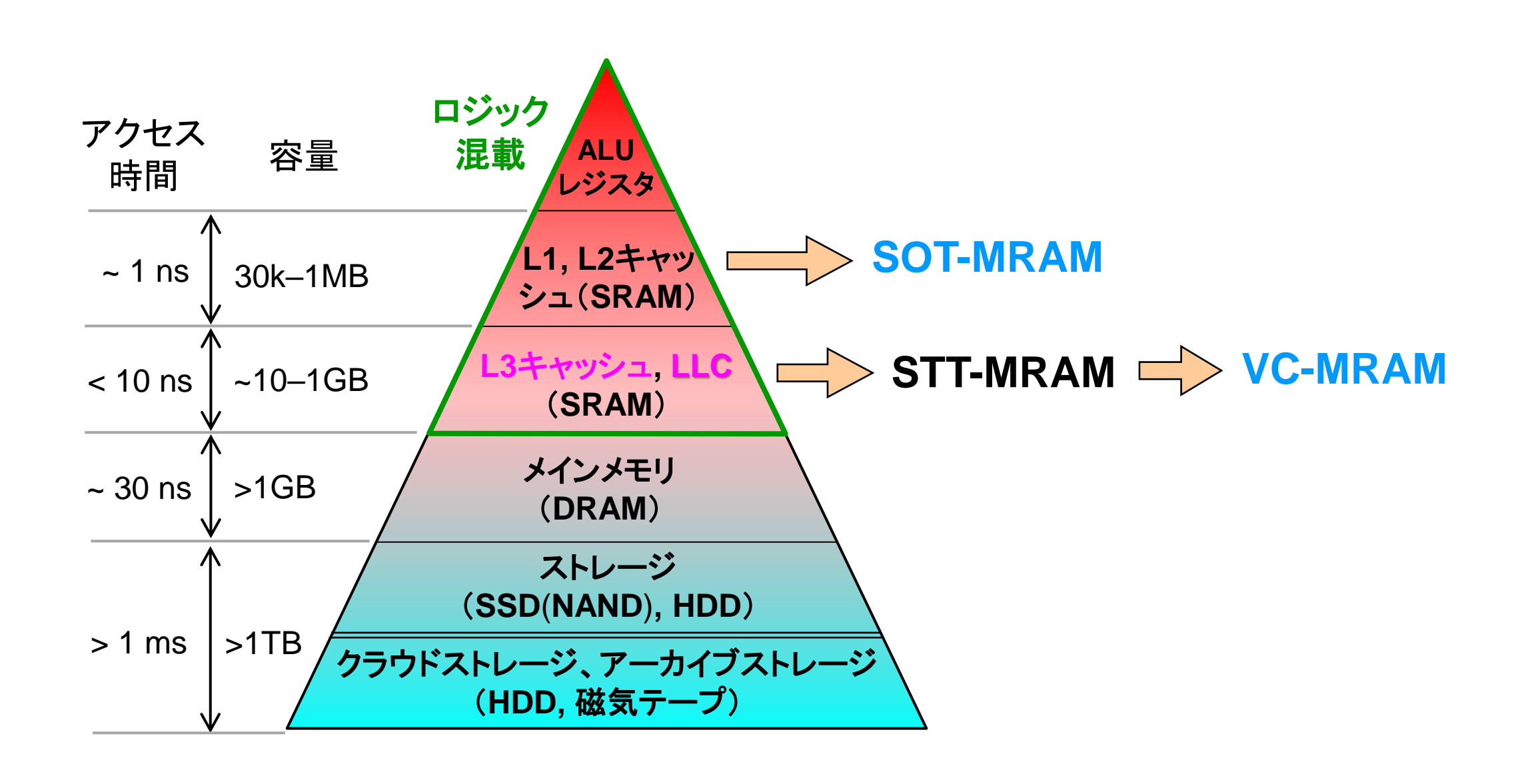
【課題】市場規模が小さい。MRAMの書換え耐性の良さを活かしきれない。 ReRAMに比べて製造コストが高い。

▶ キャッシュメモリ(演算チップ上に混載する高速メモリ)に使われているSRAMを STT-MRAMで置き換えられれば、キャッシュメモリの高集積化(=低コスト化)と待 機電力の大幅な削減が可能となるとともに、大きな市場が見込まれる。

【課題】「高速書き込み」と「書き換え耐性」の両立が、未解決の課題

**次世代MRAM(VC-MRAM, SOT-MRAM)**の開発も重要

# メモリ階層とMRAMによる置き換え(希望的観測)



#### 本日の内容

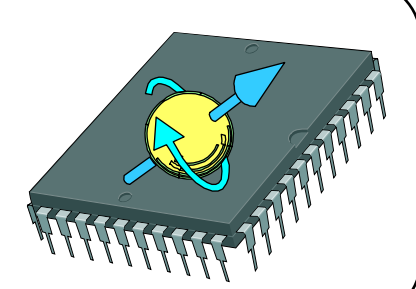
- 1. はじめに
  - ▶ 磁気抵抗効果とスピントロニクス
  - ➤ 磁気トンネル接合(MTJ)のトンネル磁気抵抗効果(TMR効果)
  - ▶ アモルファルAI-Oトンネル障壁のTMR効果、その応用と限界
- 2. 結晶MgOトンネル障壁の巨大TMR効果
  - ➤ エピタキシャルMgO(001)トンネル障壁
  - ➤ CoFeB/MgO/CoFeB構造のMTJ
- 3. ハードディスク(HDD)
- 4. 不揮発性メモリ STT-MRAM
  - ➤ スピン転移トルク(STT)
  - ➤ 垂直磁化STT-MRAM
- 5. まとめ、今後の課題

# スピントロニクスの3大応用

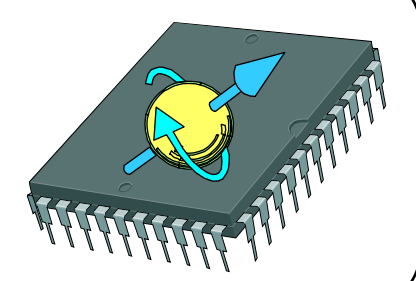
市場規模(/年) (\$1=¥150換算)

~3兆円 ~5000億円)

(うち磁気ヘッド 頭打ち



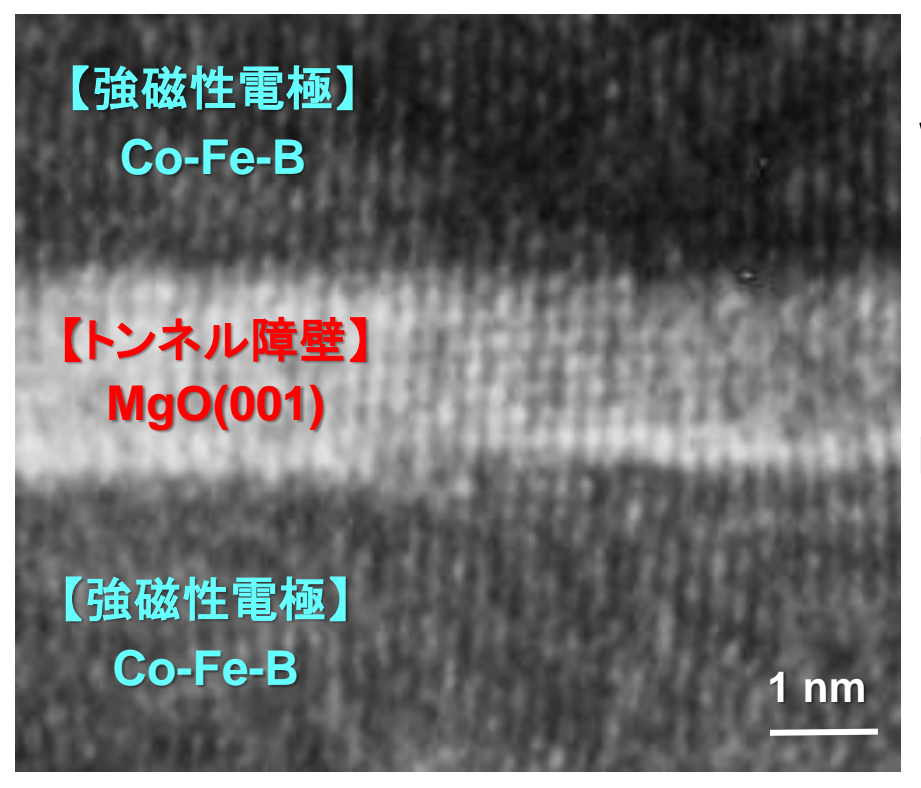
~1000億円 拡大中



磁気計測や位置・回転検出用の

TMR磁気センサー

数100億円 拡大中





IT社会を支えるデータセ ンターの主流ストレージ

ハードディスク(HDD) の再生磁気ヘッド



LSIの省電力化 を実現する

不揮発性メモリ **STT-MRAM** 



磁気トンネル接合(MTJ)

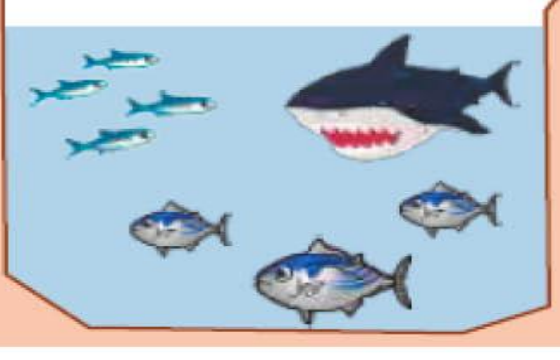
## スピントロニクス技術の分類



死の谷

ダーウィンの海

事業化



**産業化** (≧1兆円/年)

【図の出典】 木村嘉富「イノベーション考」 土木技術資料 58-11(2016).

- > スキルミオン
- ▶ オービトロニクス
- ▶ マグノニクス
- > マルチフェロイクス
- **➤** スピンカロリトロニクス
- ▶ 半導体スピントロニクス
- ▶ 反強磁性スピントロニクス
- ➤ 非ノイマン型コンピューティング その他いろいろ

- > SOT-MRAM
- > VC-MRAM
- ➤ TMR磁気センサー (生体磁気計測)
- ▶ レーストラック メモリ

- > STT-MRAM
- ➤ TMR磁気センサー (汎用)

過去、ダーウィンの海で 淘汰された磁気記録

- > コアメモリ、ワイヤメモリ
- ▶ 磁気バブルメモリ
- ▶ 光磁気ディスク





# スピントロニクスの今後の課題

## 1. スピントロニクスの既存応用の存続・拡大

- ➤ HDDの延命 ← HAMRとTMRヘッドの改良による高記録密度化が重要
- ➤ STT-MRAMの市場拡大 ← キャッシュ用SRAMの置き換えが特に重要
- ➤ TMR磁気センサーの応用範囲の拡大 ← 生体磁気計測、dc電流計測など

### 2. MTJの新規応用の実用化

- ➤ 次世代MRAM(SOT-MRAM、VC-MRAM)
- ➤ MTJを用いた非ノイマン型コンピューティング など

産業界が主導

アカデミア-産業界連携 当面 アカデミアが主導

3. MTJ以外のスピントロニクス技術の応用の開拓